

**МИНИСТЕРСТВО ОБРАЗОВАНИЯ И НАУКИ УКРАИНЫ
ЗАПОРОЖСКИЙ НАЦИОНАЛЬНЫЙ УНИВЕРСИТЕТ**

**С. В. Курапов
М. В. Давидовский**

**АЛГОРИТМИЧЕСКИЕ МЕТОДЫ
КОНЕЧНЫХ ДИСКРЕТНЫХ
СТРУКТУР**

ЗАДАЧА О КЛИКЕ ГРАФА

(на правах рукописи)

Запорожье, 2024

УДК 519.17
ББК: Б174.2
К

Рецензенты:

Доктор физико-математических наук, профессор
В.А.Перепелица
Доктор физико-математических наук, профессор
Козин И.В.

Утверждено Ученым советом ЗНУ (протокол № 2 от 30.10.2023 г.)

Курапов С.В.

Давидовский М.В.

К--- Алгоритмические методы теории графов. Задача о клике графа. Запорожье: ЗНУ, 2024. - 47с.

ISBN -----

В работе представлен полиномиальный алгоритм выделения клики максимальной длины в несепарабельном графе. Алгоритм основан на свойствах представления клики как подмножества циклов длиной три, кольцевая сумма которых есть пустое множество. В результате выделения циклов длины три формируется вектор циклов, проходящих по ребрам, и вектор циклов, проходящих по вершинам. Числовые значения компонент этих векторов определяют веса вершин и ребер. Итерационный процесс построения множества векторов циклов, проходящих по ребрам, позволяет выявить основной вектор циклов, проходящих по ребрам. В свою очередь, выделение основного вектора позволяет строить клики графа. В работе указана вычислительная сложность представленного алгоритма.

Для научных работников, преподавателей, студентов и аспирантов, специализирующихся на применении методов прикладной дискретной математики.

Редактор Борю С.В.

Технический редактор Борю С.Ю.

Содержание

	Введение.....	4
Глава 1.	Простые графы и графы Муна-Мозера.....	5
1.1.	Порождение клик графа Муна-Мозера.....	5
1.2.	Метод Магу.....	7
1.3.	Общая постановка задачи.....	9
Глава 2.	Рекуррентный алгоритм выделения максимальной клики графа.....	12
2.1.	Множество треугольных циклов.....	12
2.2.	Итерационный алгоритм построения множества клик.....	13
2.3.	Выделение клики.....	15
2.4.	Алгоритм вычисления максимальной клики графа.....	20
2.5.	Рекуррентный процесс построения суграфов.....	21
2.6.	Рекуррентный процесс построения подграфов.....	23
Глава 3.	Выделение максимальной клики.....	31
3.1.	Выделение максимальной клики в графе G_3	31
3.2.	Выделение максимальной клики в графе G_4	37
3.3.	Выделение максимальной клики в графе Турана.....	41
	Выводы.....	46
	Список используемой литературы.....	47

Введение

Задача о выделении максимальной клики (в англоязычной литературе – MCP, от Maximum Clique Problem) была впервые сформулирована Ричардом Карпом в 1972 году. Тогда же был представлен переборный экспоненциальный алгоритм для решения этой задачи [2,5,7].

Основой алгебраического представления графа $G(V,E;P)$ является линейное пространство суграфов $\mathcal{L}(G)$ [9]. В пространстве суграфов существует два подпространства – подпространство разрезов $S(G)$ и подпространство циклов $C(G)$. Таким образом, разрезы и циклы графа тесно связаны между собой. Эта связь отражается в преобразовании матрицы фундаментальных циклов в матрицу фундаментальных разрезов [1,2,5]. Поэтому, применение только одной матрицы смежностей графа отражает односторонний взгляд и ограничивает развитие прикладных методов теории графов. В качестве примера можно привести применение методов спектральной теории графов для решения задачи изоморфизма графов [11]. Таким образом, современное развитие прикладных методов теории графов требует комплексного подхода к разработке алгоритмов. Требуется создание более простых алгоритмов с одновременным использованием как матрицы смежностей, так и матрицы независимых циклов графа.

Хорошим примером для иллюстрации вычислительной сложности методов выделения максимальной клики являются графы Муна-Мозера. Данная задача имеет многочисленные приложения. В биоинформатике задача о максимальной клике используется при компьютерном анализе геномных баз данных, например, при поиске потенциальных регуляторных структур рибонуклеиновых кислот. В социальных сетях задача о максимальной клике применяется при кластеризации данных – при разделении различных сообществ на группы (кластеры), обладающие общими свойствами. Выделение кластеров позволяет обрабатывать каждый из них отдельным вспомогательным сервером. В химии задача о максимальной клике лежит в основе поиска «максимальной общей подструктуры» в графе, описывающем структуру химического соединения. Кроме того, задача о максимальной клике является математической моделью ряда прикладных задач, возникающих в процессе разработки систем автоматизированного проектирования.

Глава 1. Простые графы и графы Муна-Мозера

1.1. Порождение клик графа Муна-Мозера

Представление о простоте переборных алгоритмов для решения задач справедливо только для небольших графов (с числом атрибутов до 20). Однако с увеличением количества атрибутов этот метод поиска становится громоздким с вычислительной точки зрения. Такой вывод можно получить, если исследовать зависимость количества клик от количества вершин на графах Муна–Мозера [13,14]. Количество вершин в клике будем называть *длиной клики*.

Число клик в графе может расти экспоненциально относительно числа вершин. Рассмотрим граф M_n Муна–Мозера с $3n$ вершинами $\{1, 2, \dots, 3n\}$, в котором вершины разбиты на триады $\{1,2,3\}$, $\{4,5,6\}$, ..., $\{3n - 2, 3n - 1, 3n\}$; M_n не имеет ребер внутри любой триады, но вне их каждая вершина связана с каждой из остальных. Графы M_1, M_2, M_3 показаны на рис. 1.1.

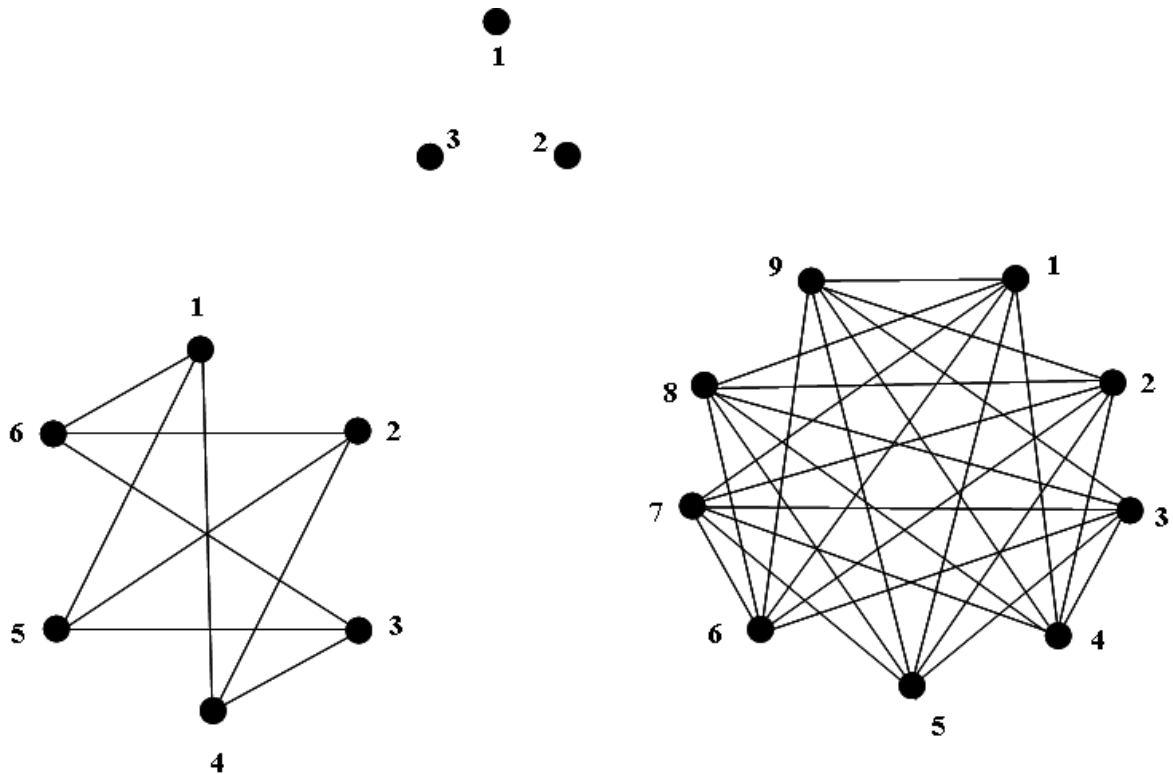


Рис.1.1. Первые три графа Муна-Мозера.

Легко доказать, что M_n имеет 3^n клик, каждая из которых содержит n вершин. Это верно для M_1 , в котором кликами являются сами вершины. Если M_{n-1} имеет 3^{n-1} клик, каждый из которых состоит из $(n - 1)$ вершин, то каждая из трех вершин, добавленных для построения M_n , формирует клику с каждой из 3^{n-1} клик M_{n-1} . Поскольку только они являются новыми кликами, M_n имеет $3 \cdot 3^{n-1}$

$= 3^n$ клик, каждая из которых состоит из n вершин. Таким образом, число клик в M_n растет экспоненциально относительно числа вершин.

Рассмотрим граф Муна-Мозера на 6 вершин. Имеем 9 ребер (длина клики равна 2):

$v_1 v_4$	$v_2 v_4$	$v_3 v_4$
$v_1 v_5$	$v_2 v_5$	$v_3 v_5$
$v_1 v_6$	$v_2 v_6$	$v_3 v_6$

Рассмотрим граф Муна-Мозера на 9 (3×3) вершин. Количество клик формируем путем добавления к каждой предыдущей клике поочередно трех новых вершин v_7, v_8, v_9 . В результате имеем 27 (3^3) треугольных клик.

$v_1 v_4 v_7$	$v_2 v_4 v_7$	$v_3 v_4 v_7$
$v_1 v_4 v_8$	$v_2 v_4 v_8$	$v_3 v_4 v_8$
$v_1 v_4 v_9$	$v_2 v_4 v_9$	$v_3 v_4 v_9$
$v_1 v_5 v_7$	$v_2 v_5 v_7$	$v_3 v_5 v_7$
$v_1 v_5 v_8$	$v_2 v_5 v_8$	$v_3 v_5 v_8$
$v_1 v_5 v_9$	$v_2 v_5 v_9$	$v_3 v_5 v_9$
$v_1 v_6 v_7$	$v_2 v_6 v_7$	$v_3 v_6 v_7$
$v_1 v_6 v_8$	$v_2 v_6 v_8$	$v_3 v_6 v_8$
$v_1 v_6 v_9$	$v_2 v_6 v_9$	$v_3 v_6 v_9$

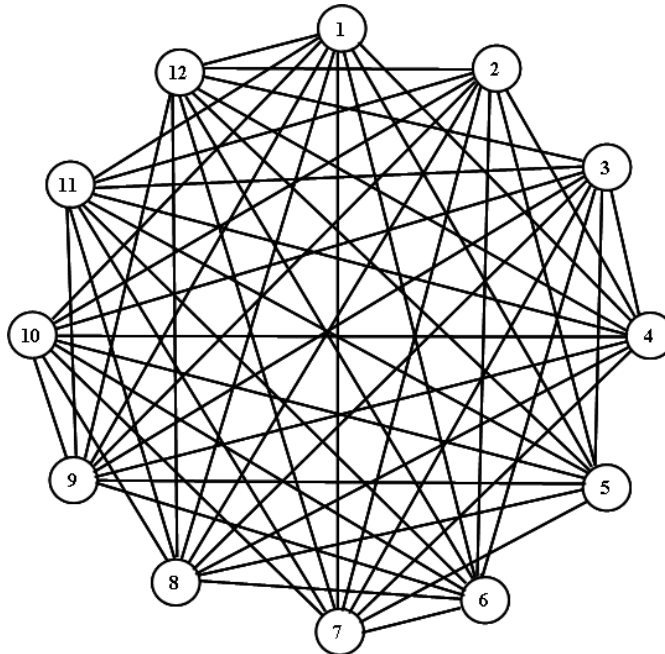


Рис. 1.2. Граф Муна-Мозера на 12 вершин.

Рассмотрим граф Муна-Мозера на 12 (3×4) вершин (рис. 1.2). Количество клик формируем путем добавления к каждой предыдущей клике поочередно трех новых вершин v_{10}, v_{11}, v_{12} . В результате имеем 81 (3^4) четырехвалентных клик.

$v_1 v_4 v_7 v_{10}$	$v_2 v_4 v_7 v_{10}$	$v_3 v_4 v_7 v_{10}$
$v_1 v_4 v_7 v_{11}$	$v_2 v_4 v_7 v_{11}$	$v_3 v_4 v_7 v_{11}$

V ₁ V ₄ V ₇ V ₁₂	V ₂ V ₄ V ₇ V ₁₂	V ₃ V ₄ V ₇ V ₁₂
V ₁ V ₄ V ₈ V ₁₀	V ₂ V ₄ V ₈ V ₁₀	V ₃ V ₄ V ₈ V ₁₀
V ₁ V ₄ V ₈ V ₁₁	V ₂ V ₄ V ₈ V ₁₁	V ₃ V ₄ V ₈ V ₁₁
V ₁ V ₄ V ₈ V ₁₂	V ₂ V ₄ V ₈ V ₁₂	V ₃ V ₄ V ₈ V ₁₂
V ₁ V ₄ V ₉ V ₁₀	V ₂ V ₄ V ₉ V ₁₀	V ₃ V ₄ V ₉ V ₁₀
V ₁ V ₄ V ₉ V ₁₁	V ₂ V ₄ V ₉ V ₁₁	V ₃ V ₄ V ₉ V ₁₁
V ₁ V ₄ V ₉ V ₁₂	V ₂ V ₄ V ₉ V ₁₂	V ₃ V ₄ V ₉ V ₁₂
V ₁ V ₅ V ₇ V ₁₀	V ₂ V ₅ V ₇ V ₁₀	V ₃ V ₅ V ₇ V ₁₀
V ₁ V ₅ V ₇ V ₁₁	V ₂ V ₅ V ₇ V ₁₁	V ₃ V ₅ V ₇ V ₁₁
V ₁ V ₅ V ₇ V ₁₂	V ₂ V ₅ V ₇ V ₁₂	V ₃ V ₅ V ₇ V ₁₂
V ₁ V ₅ V ₈ V ₁₀	V ₂ V ₅ V ₈ V ₁₀	V ₃ V ₅ V ₈ V ₁₀
V ₁ V ₅ V ₈ V ₁₁	V ₂ V ₅ V ₈ V ₁₁	V ₃ V ₅ V ₈ V ₁₁
V ₁ V ₅ V ₈ V ₁₂	V ₂ V ₅ V ₈ V ₁₂	V ₃ V ₅ V ₈ V ₁₂
V ₁ V ₅ V ₉ V ₁₀	V ₂ V ₅ V ₉ V ₁₀	V ₃ V ₅ V ₉ V ₁₀
V ₁ V ₅ V ₉ V ₁₁	V ₂ V ₅ V ₉ V ₁₁	V ₃ V ₅ V ₉ V ₁₁
V ₁ V ₅ V ₉ V ₁₂	V ₂ V ₅ V ₉ V ₁₂	V ₃ V ₅ V ₉ V ₁₂
V ₁ V ₆ V ₇ V ₁₀	V ₂ V ₆ V ₇ V ₁₀	V ₃ V ₆ V ₇ V ₁₀
V ₁ V ₆ V ₇ V ₁₁	V ₂ V ₆ V ₇ V ₁₁	V ₃ V ₆ V ₇ V ₁₁
V ₁ V ₆ V ₇ V ₁₂	V ₂ V ₆ V ₇ V ₁₂	V ₃ V ₆ V ₇ V ₁₂
V ₁ V ₆ V ₈ V ₁₀	V ₂ V ₆ V ₈ V ₁₀	V ₃ V ₆ V ₈ V ₁₀
V ₁ V ₆ V ₈ V ₁₁	V ₂ V ₆ V ₈ V ₁₁	V ₃ V ₆ V ₈ V ₁₁
V ₁ V ₆ V ₈ V ₁₃	V ₂ V ₆ V ₈ V ₁₃	V ₃ V ₆ V ₈ V ₁₃
V ₁ V ₆ V ₉ V ₁₀	V ₂ V ₆ V ₉ V ₁₀	V ₃ V ₆ V ₉ V ₁₀
V ₁ V ₆ V ₉ V ₁₁	V ₂ V ₆ V ₉ V ₁₁	V ₃ V ₆ V ₉ V ₁₁
V ₁ V ₆ V ₉ V ₁₂	V ₂ V ₆ V ₉ V ₁₂	V ₃ V ₆ V ₉ V ₁₂

Дальнейшая логика построения клик для графа Муна-Мозера очевидна.

Таким образом, задача перечисления всех клик в графе является экспоненциальной по сложности вычисления (так как существуют графы с количеством клик 3^n).

1.2. Метод Магу

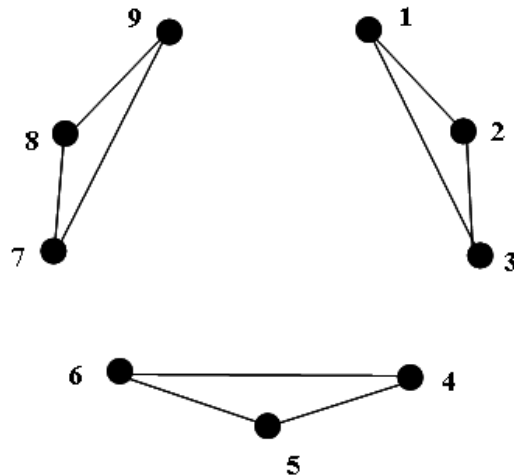


Рис. 1.3. \overline{M}_3 – дополнительный граф Муна-Мозера на 9 вершин.

Для решения задачи определения клик в графе Муна-Мозера применим метод Магу.

Рассмотрим следующее представление графа \overline{M}_3 :

$$\Pi = \prod_{i=1}^m e_i = (v_{i1} \vee v_{i2})_i = 1. \quad (1.1)$$

$$\begin{aligned} \Pi &= (v_1 + v_2) (v_1 + v_3) (v_2 + v_3) (v_4 + v_5) (v_4 + v_6) (v_5 + v_6) (v_7 + v_8) (v_7 + v_9) (v_8 + v_9) = \\ &= (v_1 + v_2v_3) (v_2 + v_3) (v_4 + v_5v_6) (v_5 + v_6) (v_7 + v_8v_9) (v_8 + v_9) = \\ &= (v_1v_2 + v_1v_3 + v_2v_3) (v_4v_5 + v_4v_6 + v_5v_6) (v_7v_8 + v_7v_9 + v_8v_9) = \\ &= (v_1v_2v_4v_5 + v_1v_2v_4v_6 + v_1v_2v_5v_6 + v_1v_3v_4v_5 + v_1v_3v_4v_6 + v_1v_3v_5v_6 + v_2v_3v_4v_5 + v_2v_3v_4v_6 + v_2v_3v_5v_6) \times \\ &\times (v_7v_8 + v_7v_9 + v_8v_9) = v_1v_2v_4v_5v_7v_8 + v_1v_2v_4v_6v_7v_8 + v_1v_2v_5v_6v_7v_8 + v_1v_3v_4v_5v_7v_8 + \\ &+ v_1v_3v_4v_6v_7v_8 + v_1v_3v_5v_6v_7v_8 + v_2v_3v_4v_5v_7v_8 + v_2v_3v_4v_6v_7v_8 + v_2v_3v_5v_6v_7v_8 + v_1v_2v_4v_5v_7v_9 + \\ &+ v_1v_2v_4v_6v_7v_9 + v_1v_2v_5v_6v_7v_9 + v_1v_3v_4v_5v_7v_9 + v_1v_3v_4v_6v_7v_9 + v_1v_3v_5v_6v_7v_9 + v_2v_3v_4v_5v_7v_9 + \\ &+ v_2v_3v_4v_6v_7v_9 + v_2v_3v_5v_6v_7v_9 + v_1v_2v_4v_5v_8v_9 + v_1v_2v_4v_6v_8v_9 + v_1v_2v_5v_6v_8v_9 + v_1v_3v_4v_5v_8v_9 + \\ &+ v_1v_3v_4v_6v_8v_9 + v_1v_3v_5v_6v_8v_9 + v_2v_3v_4v_5v_8v_9 + v_2v_3v_4v_6v_8v_9 + v_2v_3v_5v_6v_8v_9. \end{aligned}$$

Отсюда определим клики как дополнение:

$$\begin{aligned} K_1 &= \{v_1, v_2, v_3, v_4, v_5, v_6, v_7, v_8, v_9\} \setminus \{v_1, v_2, v_4, v_5, v_7, v_8\} = \{v_3, v_6, v_9\}; \\ K_2 &= \{v_1, v_2, v_3, v_4, v_5, v_6, v_7, v_8, v_9\} \setminus \{v_1, v_2, v_4, v_6, v_7, v_8\} = \{v_3, v_5, v_9\}; \\ K_3 &= \{v_1, v_2, v_3, v_4, v_5, v_6, v_7, v_8, v_9\} \setminus \{v_1, v_2, v_5, v_6, v_7, v_8\} = \{v_3, v_4, v_9\}; \\ K_4 &= \{v_1, v_2, v_3, v_4, v_5, v_6, v_7, v_8, v_9\} \setminus \{v_1, v_2, v_4, v_5, v_7, v_9\} = \{v_3, v_6, v_8\}; \\ K_5 &= \{v_1, v_2, v_3, v_4, v_5, v_6, v_7, v_8, v_9\} \setminus \{v_1, v_2, v_4, v_6, v_7, v_9\} = \{v_3, v_5, v_8\}; \\ K_6 &= \{v_1, v_2, v_3, v_4, v_5, v_6, v_7, v_8, v_9\} \setminus \{v_1, v_2, v_5, v_6, v_7, v_9\} = \{v_3, v_4, v_8\}; \\ K_7 &= \{v_1, v_2, v_3, v_4, v_5, v_6, v_7, v_8, v_9\} \setminus \{v_1, v_2, v_4, v_5, v_8, v_9\} = \{v_3, v_6, v_7\}; \\ K_8 &= \{v_1, v_2, v_3, v_4, v_5, v_6, v_7, v_8, v_9\} \setminus \{v_1, v_2, v_4, v_6, v_8, v_9\} = \{v_3, v_5, v_7\}; \\ K_9 &= \{v_1, v_2, v_3, v_4, v_5, v_6, v_7, v_8, v_9\} \setminus \{v_1, v_2, v_5, v_6, v_8, v_9\} = \{v_3, v_4, v_7\}; \\ K_{10} &= \{v_1, v_2, v_3, v_4, v_5, v_6, v_7, v_8, v_9\} \setminus \{v_1, v_3, v_4, v_5, v_7, v_8\} = \{v_2, v_6, v_9\}; \\ K_{11} &= \{v_1, v_2, v_3, v_4, v_5, v_6, v_7, v_8, v_9\} \setminus \{v_1, v_3, v_4, v_6, v_7, v_8\} = \{v_2, v_5, v_9\}; \\ K_{12} &= \{v_1, v_2, v_3, v_4, v_5, v_6, v_7, v_8, v_9\} \setminus \{v_1, v_3, v_5, v_6, v_7, v_8\} = \{v_2, v_4, v_9\}; \\ K_{13} &= \{v_1, v_2, v_3, v_4, v_5, v_6, v_7, v_8, v_9\} \setminus \{v_1, v_3, v_4, v_5, v_7, v_9\} = \{v_2, v_6, v_8\}; \\ K_{14} &= \{v_1, v_2, v_3, v_4, v_5, v_6, v_7, v_8, v_9\} \setminus \{v_1, v_3, v_4, v_6, v_7, v_9\} = \{v_2, v_5, v_8\}; \\ K_{15} &= \{v_1, v_2, v_3, v_4, v_5, v_6, v_7, v_8, v_9\} \setminus \{v_1, v_3, v_5, v_6, v_7, v_9\} = \{v_2, v_4, v_8\}; \\ K_{16} &= \{v_1, v_2, v_3, v_4, v_5, v_6, v_7, v_8, v_9\} \setminus \{v_1, v_3, v_4, v_5, v_8, v_9\} = \{v_2, v_6, v_7\}; \\ K_{17} &= \{v_1, v_2, v_3, v_4, v_5, v_6, v_7, v_8, v_9\} \setminus \{v_1, v_3, v_4, v_6, v_8, v_9\} = \{v_2, v_5, v_7\}; \\ K_{18} &= \{v_1, v_2, v_3, v_4, v_5, v_6, v_7, v_8, v_9\} \setminus \{v_1, v_3, v_5, v_6, v_8, v_9\} = \{v_2, v_4, v_7\}; \end{aligned}$$

$$\begin{aligned}
K_{19} &= \{v_1, v_2, v_3, v_4, v_5, v_6, v_7, v_8, v_9\} \setminus \{v_2, v_3, v_4, v_5, v_7, v_8\} = \{v_1, v_6, v_9\}; \\
K_{20} &= \{v_1, v_2, v_3, v_4, v_5, v_6, v_7, v_8, v_9\} \setminus \{v_2, v_3, v_4, v_6, v_7, v_8\} = \{v_1, v_5, v_9\}; \\
K_{21} &= \{v_1, v_2, v_3, v_4, v_5, v_6, v_7, v_8, v_9\} \setminus \{v_2, v_3, v_5, v_6, v_7, v_8\} = \{v_1, v_4, v_9\}; \\
K_{22} &= \{v_1, v_2, v_3, v_4, v_5, v_6, v_7, v_8, v_9\} \setminus \{v_2, v_3, v_4, v_5, v_7, v_9\} = \{v_1, v_6, v_8\}; \\
K_{23} &= \{v_1, v_2, v_3, v_4, v_5, v_6, v_7, v_8, v_9\} \setminus \{v_2, v_3, v_4, v_6, v_7, v_9\} = \{v_1, v_5, v_8\}; \\
K_{24} &= \{v_1, v_2, v_3, v_4, v_5, v_6, v_7, v_8, v_9\} \setminus \{v_2, v_3, v_5, v_6, v_7, v_9\} = \{v_1, v_4, v_8\}; \\
K_{25} &= \{v_1, v_2, v_3, v_4, v_5, v_6, v_7, v_8, v_9\} \setminus \{v_2, v_3, v_4, v_5, v_8, v_9\} = \{v_1, v_6, v_7\}; \\
K_{26} &= \{v_1, v_2, v_3, v_4, v_5, v_6, v_7, v_8, v_9\} \setminus \{v_2, v_3, v_4, v_6, v_8, v_9\} = \{v_1, v_5, v_7\}; \\
K_{27} &= \{v_1, v_2, v_3, v_4, v_5, v_6, v_7, v_8, v_9\} \setminus \{v_2, v_3, v_5, v_6, v_8, v_9\} = \{v_1, v_4, v_7\}.
\end{aligned}$$

Как видно, для метода Магу количество клик длиной три в графе Муна-Мозера на 9 вершин определяется величиной $3^3 = 27$.

Количество ребер в графе Муна-Мозера можно определить как

$$m = \frac{n(n-3)}{2} \quad (1.2)$$

Тогда количество элементарных операций для метода Магу можно оценить как 2^m .

1.3. Общая постановка задачи

Рассмотрим граф K_4 .

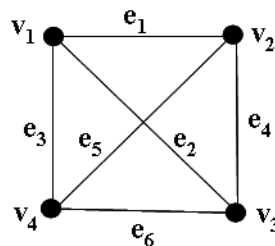


Рис. 1.4. Граф K_4

Будем представлять ребро концевыми вершинами. Обозначим вершины в треугольной клике как v_{i1}, v_{i2}, v_{i3} , тогда условие существования клики длиной 3 в графе K_4 можно записать в следующем виде:

$$F_1 = (v_{i1}, v_{i2}) \& (v_{i1}, v_{i3}) \& (v_{i2}, v_{i3}) = 1 \quad (1.3)$$

Обозначим вершины в клике длиной 4 как $(v_{i1}, v_{i2}, v_{i3}, v_{i4})$, тогда условие существование клики:

$$F_2 = (v_{i1}, v_{i2}) \& (v_{i1}, v_{i3}) \& (v_{i1}, v_{i4}) \& (v_{i2}, v_{i3}) \& (v_{i2}, v_{i4}) \& (v_{i3}, v_{i4}) = 1 \quad (1.4)$$

В общем виде, для клики длиной n , выражения (1.2 и 1.3) можно записать в виде следующего выражения:

$$F = \prod_{i=1}^{n(n-1)/2} e_i = e_1 \& e_2 \& \dots \& e_{n(n-1)/2} = 1 \quad (1.5)$$

Таким образом, можно рассматривать задачу о клике в представлении формулы (1.4).

	$e_1=(v_1,v_2)$	$e_2=(v_1,v_3)$	$e_3=(v_1,v_4)$	$e_4=(v_2,v_3)$	$e_5=(v_2,v_4)$	$e_6=(v_3,v_4)$	F
	1	2	3	4	5	6	7
0	0	0	0	0	0	0	0
1	0	0	0	0	0	1	0
2	0	0	0	0	1	0	0
3	0	0	0	1	0	0	0
4	0	0	1	0	0	0	0
		
60	1	1	1	1	0	0	0
61	1	1	1	1	0	1	0
62	1	1	1	1	1	0	0
63	1	1	1	1	1	1	1

В этом случае вычислительная сложность равна 2^m .

Будем рассматривать решение задачи о максимальной клике для простого неориентированного графа G имеющего n вершин и m ребер в следующем виде:

- 1) Определяем существование в графе G клик длиной три.
- 2) Затем определяем существование в графе G клик длиной четыре.
- ...
- n) Определяем существование в графе G клик длиной n .

Если на следующем этапе процесса поиска не существует клик длиной $n+1$, то поиск прекращается и клика длиной n объявляется максимальной.

Вычислительная сложность.

Данный процесс имеет экспоненциальную вычислительную сложность. Число сочетаний из n элементов по k равно биномиальному коэффициенту:

$$\binom{n}{k} = C_n^k = C_{n-1}^{k-1} + C_{n-1}^k = \frac{n!}{k!(n-k)!} \quad (1.6)$$

Вычислительную сложность процессов, связанных с перестановками $n!$ элементов можно оценить с помощью формулы Стирлинга. Так число перестановок длины n равно произведению всех натуральных чисел от 1 до $n - n!$. Асимптотическая формула Стирлинга позволяет быстро и довольно точно оценить эту величину для больших значений n :

$$n! = \sqrt{2\pi n} \left(\frac{n}{e}\right)^n \exp \frac{1}{12n + \theta_n} \quad (1.7)$$

где $0 < \theta_n < 1$, $n > 0$. В формуле (1.7) максимальное значение θ_n в действительности меньше 1 и примерно равно 0,7509.

Для определения характера вычислений воспользуемся следующим выражением:

$$n^x = e^{x \ln n}. \quad (1.8)$$

Если будем считать x переменной, а n константой, то процесс расчета носит экспоненциальный характер. Если же считать x константой, а n – переменной, то процесс расчета будет носить полиномиальный характер.

Следовательно, можно сделать вывод о том, что при факториальной зависимости процесс поиска клик будет носить экспоненциальный характер.

Преобразуем выражение (1.5):

$$C_n^k = \frac{n(n-1)(n-2)\dots(n-k+1)(n-k)\dots 1}{k!(n-k)!} \quad (1.9)$$

Сократим числитель и знаменатель на величину $(n-k)!$, получим:

$$C_n^k = \frac{n(n-1)(n-2)\dots(n-k+1)}{k!} \text{ при } k \leq n-k \quad (1.10)$$

$$C_n^k = \frac{n(n-1)(n-2)\dots(k+1)}{(n-k)!} \text{ при } k \geq n-k \quad (1.11)$$

Данное выражение можно усилить:

$$C_n^k = \frac{n(n-1)(n-2)\dots(n-k+1)}{k!} \approx \frac{n^k}{k!} \text{ при } k \leq n-k \quad (1.12)$$

$$C_n^k = \frac{n(n-1)(n-2)\dots(k+1)}{(n-k)!} \approx \frac{n^{n-k}}{(n-k)!} \text{ при } k \geq n-k \quad (1.13)$$

Теперь можно сказать, что вычислительная сложность алгоритма построения сочетаний из n элементов по k равна $o(n^k)$ для $k \leq n-k$ и $o(n^{n-k})$ для $k \geq n-k$.

Таким образом, вычислительная сложность алгоритма построения сочетаний (операции сочетания C_n^k) носит экспоненциальный характер. Согласно выражению (1.8) $n^{n/2} = e^{n/2 \ln n}$ [1,6].

Глава 2. Рекуррентный алгоритм выделения максимальной клики графа

2.1. Множество треугольных циклов

Пространство суграфов графа включает в себя подпространство разрезов $S(G)$ и подпространство циклов $C(G)$. Поэтому соответствующие математические модели должны учитывать свойства указанных подпространств. Будем рассматривать следующую математическую модель для решения задачи выделения максимальной клики графа. Начнем с рассмотрения свойств клик несепабельного неориентированного графа $G(V,E)$ [8].

Определение 1. Связный неориентированный граф G , не имеющий мостов и точек сочленения, без петель, кратных ребер и вершин с локальной степенью меньше или равной двум, называется *несепабельным графом* G .

Введем некоторые определения и утверждения, характеризующие клики графа. Количество вершин в графе обозначим как n , а количество ребер – как m [3,4,10].

Определение 2. Количество вершин графа в клике называется *длиной клики* и обозначается латинской буквой L_v .

Определение 3. Количество ребер в цикле графа называется *длиной цикла* и обозначается латинской буквой L_c .

Клика состоит из циклов длиной три, таковых что: кольцевая сумма этих циклов равна пустому множеству [9], и/или суграф всех ребер клики и подграф, состоящий из этих циклов, являются полными подграфами.

Например, для графа K_4 , циклы $\{e_1, e_2, e_4\} \oplus \{e_2, e_3, e_6\} \oplus \{e_1, e_3, e_5\} \oplus \{e_4, e_5, e_6\} = \emptyset$ и подграф, состоящий из этих циклов есть полный граф.

Циклы будем записывать как подмножество ребер и подмножество вершин.

Утверждение 1. Если ребро графа включено в состав клики длиной L , то данное ребро должно быть включено в $L-2$ циклов длиной три (треугольных циклов).

Количество циклов графа длиной три, можно рассчитать по формуле

$$k_c \leq \frac{n(n-1)(n-2)}{6} \quad (2.1)$$

2.2. Итерационный процесс построения множества клик

Будем рассматривать следующий процесс исключения определённого количества циклов из множества циклов графа длиной три. Пусть данный процесс состоит из нескольких последовательно выполняемых действий (итераций). Каждая итерация характеризуется следующими параметрами:

i – номер итерации;

C_i – множество треугольных графов для итерации;

$P_i = \langle b_1, b_2, \dots, b_m \rangle$ – кортеж количества треугольных циклов проходящих по ребру;

b_j – количество циклов длиной три проходящих по ребру e_j (вес ребра e_j);

MAX_i – максимальное значение элемента кортежа P_i ;

MIN_i – минимальное значение элемента кортежа P_i (исключая нули);

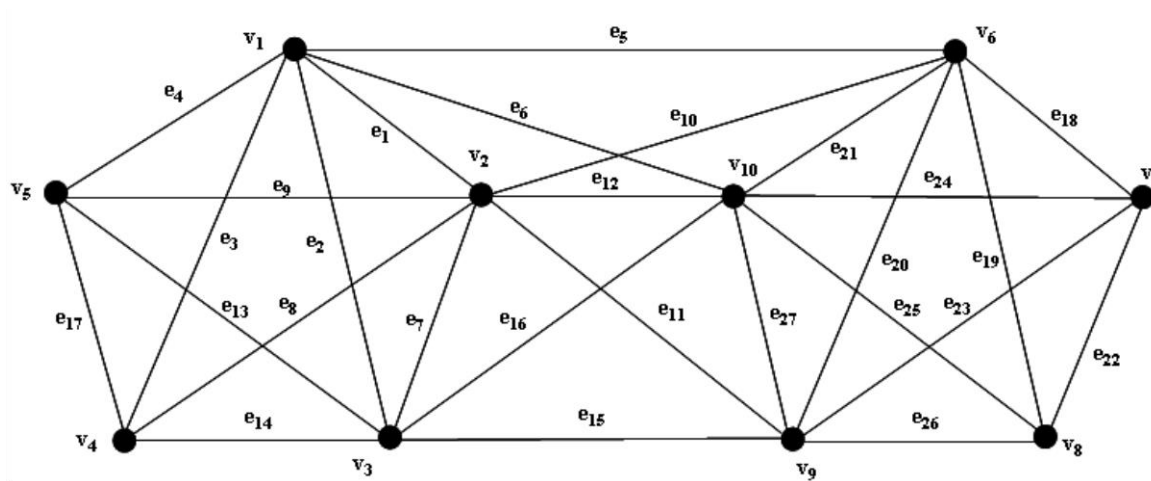


Рис. 2.1. Граф G_1 .

Для получения элементов множества циклов C_{i+1} последующей итерации, создаётся подмножество треугольных циклов Q_i , состоящее из циклов, имеющих ребра с весом MIN_i .

$$C_{i+1} = C_i \setminus Q_i \quad (2.2)$$

В качестве примера рассмотрим граф G_1 представленный на рис. 2.

Количество вершин графа = 10.

Количество ребер графа = 27.

Количество треугольных циклов графа = 30.

Начальная итерация i_0 .

Обозначим множество циклов длиной три в графе G_1 как C_0 :

- | | |
|---|---|
| $c_1 = \{e_1, e_2, e_7\} \leftrightarrow \{v_2, v_3, v_1\};$ | $c_2 = \{e_1, e_3, e_8\} \leftrightarrow \{v_2, v_4, v_1\};$ |
| $c_3 = \{e_1, e_4, e_9\} \leftrightarrow \{v_2, v_5, v_1\};$ | $c_4 = \{e_1, e_5, e_{10}\} \leftrightarrow \{v_2, v_6, v_1\};$ |
| $c_5 = \{e_1, e_6, e_{12}\} \leftrightarrow \{v_2, v_{10}, v_1\};$ | $c_6 = \{e_2, e_3, e_{13}\} \leftrightarrow \{v_3, v_4, v_1\};$ |
| $c_7 = \{e_2, e_4, e_{14}\} \leftrightarrow \{v_3, v_5, v_1\};$ | $c_8 = \{e_2, e_6, e_{16}\} \leftrightarrow \{v_3, v_{10}, v_1\};$ |
| $c_9 = \{e_3, e_4, e_{17}\} \leftrightarrow \{v_4, v_5, v_1\};$ | $c_{10} = \{e_5, e_6, e_{21}\} \leftrightarrow \{v_6, v_{10}, v_1\};$ |
| $c_{11} = \{e_7, e_8, e_{13}\} \leftrightarrow \{v_3, v_4, v_2\};$ | $c_{12} = \{e_7, e_9, e_{14}\} \leftrightarrow \{v_3, v_5, v_2\};$ |
| $c_{13} = \{e_7, e_{11}, e_{15}\} \leftrightarrow \{v_3, v_9, v_2\};$ | $c_{14} = \{e_7, e_{12}, e_{16}\} \leftrightarrow \{v_3, v_{10}, v_2\};$ |
| $c_{15} = \{e_8, e_9, e_{17}\} \leftrightarrow \{v_4, v_5, v_2\};$ | $c_{16} = \{e_{10}, e_{11}, e_{20}\} \leftrightarrow \{v_6, v_9, v_2\};$ |
| $c_{17} = \{e_{10}, e_{12}, e_{21}\} \leftrightarrow \{v_6, v_{10}, v_2\};$ | $c_{18} = \{e_{11}, e_{12}, e_{27}\} \leftrightarrow \{v_9, v_{10}, v_2\};$ |
| $c_{19} = \{e_{13}, e_{14}, e_{17}\} \leftrightarrow \{v_4, v_5, v_3\};$ | $c_{20} = \{e_{15}, e_{16}, e_{27}\} \leftrightarrow \{v_9, v_{10}, v_3\};$ |
| $c_{21} = \{e_{18}, e_{19}, e_{22}\} \leftrightarrow \{v_7, v_8, v_6\};$ | $c_{22} = \{e_{18}, e_{20}, e_{23}\} \leftrightarrow \{v_7, v_9, v_6\};$ |

$$\begin{aligned}
c_{23} &= \{e_{18}, e_{21}, e_{24}\} \leftrightarrow \{v_7, v_{10}, v_6\}; & c_{24} &= \{e_{19}, e_{20}, e_{25}\} \leftrightarrow \{v_8, v_9, v_6\}; \\
c_{25} &= \{e_{19}, e_{21}, e_{26}\} \leftrightarrow \{v_8, v_{10}, v_6\}; & c_{26} &= \{e_{20}, e_{21}, e_{27}\} \leftrightarrow \{v_9, v_{10}, v_6\}; \\
c_{27} &= \{e_{22}, e_{23}, e_{25}\} \leftrightarrow \{v_8, v_9, v_7\}; & c_{28} &= \{e_{22}, e_{24}, e_{26}\} \leftrightarrow \{v_8, v_{10}, v_7\}; \\
c_{29} &= \{e_{23}, e_{24}, e_{27}\} \leftrightarrow \{v_9, v_{10}, v_7\}; & c_{30} &= \{e_{25}, e_{26}, e_{27}\} \leftrightarrow \{v_9, v_{10}, v_8\}.
\end{aligned}$$

Начальная конфигурация кортежа количества циклов проходящих по ребрам P_0 :

$$P_0 = \langle 5, 4, 3, 3, 2, 3, 5, 3, 3, 3, 3, 4, 3, 3, 2, 3, 3, 3, 3, 4, 5, 3, 3, 3, 3, 3, 5 \rangle; \text{MIN}_0 = 2; \text{MAX}_0 = 5.$$

Формируем множество Q_0 удаляя циклы, содержащие ребра с минимальным весом. В данном случае это ребра e_5 и e_{15} с весом 2.

$$\begin{aligned}
c_4 &= \{e_1, e_5, e_{10}\} \leftrightarrow \{v_2, v_6, v_1\}; & c_{10} &= \{e_5, e_6, e_{21}\} \leftrightarrow \{v_6, v_{10}, v_1\}; \\
c_{13} &= \{e_7, e_{11}, e_{15}\} \leftrightarrow \{v_3, v_9, v_2\}; & c_{20} &= \{e_{15}, e_{16}, e_{27}\} \leftrightarrow \{v_9, v_{10}, v_3\};
\end{aligned}$$

Множество оставшихся циклов $C_1 = C_0 \setminus Q_0$:

$$\begin{aligned}
c_1 &= \{e_1, e_2, e_7\} \leftrightarrow \{v_2, v_3, v_1\}; & c_2 &= \{e_1, e_3, e_8\} \leftrightarrow \{v_2, v_4, v_1\}; \\
c_3 &= \{e_1, e_4, e_9\} \leftrightarrow \{v_2, v_5, v_1\}; & c_5 &= \{e_1, e_6, e_{12}\} \leftrightarrow \{v_2, v_{10}, v_1\}; \\
c_6 &= \{e_2, e_3, e_{13}\} \leftrightarrow \{v_3, v_4, v_1\}; & c_7 &= \{e_2, e_4, e_{14}\} \leftrightarrow \{v_3, v_5, v_1\}; \\
c_8 &= \{e_2, e_6, e_{16}\} \leftrightarrow \{v_3, v_{10}, v_1\}; & c_9 &= \{e_3, e_4, e_{17}\} \leftrightarrow \{v_4, v_5, v_1\}; \\
c_{11} &= \{e_7, e_8, e_{13}\} \leftrightarrow \{v_3, v_4, v_2\}; & c_{12} &= \{e_7, e_9, e_{14}\} \leftrightarrow \{v_3, v_5, v_2\}; \\
c_{14} &= \{e_7, e_{12}, e_{16}\} \leftrightarrow \{v_3, v_{10}, v_2\}; & c_{15} &= \{e_8, e_9, e_{17}\} \leftrightarrow \{v_4, v_5, v_2\}; \\
c_{16} &= \{e_{10}, e_{11}, e_{20}\} \leftrightarrow \{v_6, v_9, v_2\}; & c_{17} &= \{e_{10}, e_{12}, e_{21}\} \leftrightarrow \{v_6, v_{10}, v_2\}; \\
c_{18} &= \{e_{11}, e_{12}, e_{27}\} \leftrightarrow \{v_9, v_{10}, v_2\}; & c_{19} &= \{e_{13}, e_{14}, e_{17}\} \leftrightarrow \{v_4, v_5, v_3\}; \\
c_{21} &= \{e_{18}, e_{19}, e_{22}\} \leftrightarrow \{v_7, v_8, v_6\}; & c_{22} &= \{e_{18}, e_{20}, e_{23}\} \leftrightarrow \{v_7, v_9, v_6\}; \\
c_{23} &= \{e_{18}, e_{21}, e_{24}\} \leftrightarrow \{v_7, v_{10}, v_6\}; & c_{24} &= \{e_{19}, e_{20}, e_{25}\} \leftrightarrow \{v_8, v_9, v_6\}; \\
c_{25} &= \{e_{19}, e_{21}, e_{26}\} \leftrightarrow \{v_8, v_{10}, v_6\}; & c_{26} &= \{e_{20}, e_{21}, e_{27}\} \leftrightarrow \{v_9, v_{10}, v_6\}; \\
c_{27} &= \{e_{22}, e_{23}, e_{25}\} \leftrightarrow \{v_8, v_9, v_7\}; & c_{28} &= \{e_{22}, e_{24}, e_{26}\} \leftrightarrow \{v_8, v_{10}, v_7\}; \\
c_{29} &= \{e_{23}, e_{24}, e_{27}\} \leftrightarrow \{v_9, v_{10}, v_7\}; & c_{30} &= \{e_{25}, e_{26}, e_{27}\} \leftrightarrow \{v_9, v_{10}, v_8\}.
\end{aligned}$$

Процесс порождения итераций производится до тех пор, пока не будет исчерпано все множество треугольных циклов графа. Отсюда следует, что максимальное количество итераций не может превосходить количество треугольных циклов в графе.

$$I_{\max} \leq \frac{n(n-1)(n-2)}{6} \quad (2.3)$$

Среди всех порождённых итераций выбирается итерация с номером i , имеющая максимальное значение MIN_i . Такую итерацию будем называть *основной итерацией*.

Например, для графа G_1 , представленного на рис. 2.1, кортеж количества циклов, проходящих по рёбрам, будет изменяться от одной итерации к другой:

$$P_0 = \langle 5, 4, 3, 3, 2, 3, 5, 3, 3, 3, 3, 4, 3, 3, 2, 3, 3, 3, 3, 4, 5, 3, 3, 3, 3, 3, 5 \rangle; \text{MIN}_0 = 2; \text{MAX}_0 = 5.$$

$$P_1 = \langle 4, 4, 3, 3, 0, 2, 4, 3, 3, 2, 2, 4, 3, 3, 0, 2, 3, 3, 3, 4, 4, 3, 3, 3, 3, 3, 4 \rangle; \text{MIN}_1 = 2; \text{MAX}_1 = 4.$$

$$P_2 = \langle 3, 3, 3, 3, 0, 0, 3, 3, 3, 0, 0, 3, 3, 0, 0, 3, 3, 3, 3, 3, 3, 3, 3, 3, 3, 3, 3 \rangle; \text{MIN}_2 = 3; \text{MAX}_2 = 3.$$

$$P_3 = \langle 0, 0 \rangle; \text{MIN}_3 = 0; \text{MAX}_3 = 0.$$

Здесь вторая итерация является основной итерацией.

Множество C_2 имеет вид:

$$\begin{aligned}
 c_1 &= \{e_1, e_2, e_7\} \leftrightarrow \{v_2, v_3, v_1\}; & c_2 &= \{e_1, e_3, e_8\} \leftrightarrow \{v_2, v_4, v_1\}; \\
 c_3 &= \{e_1, e_4, e_9\} \leftrightarrow \{v_2, v_5, v_1\}; & c_6 &= \{e_2, e_3, e_{13}\} \leftrightarrow \{v_3, v_4, v_1\}; \\
 c_7 &= \{e_2, e_4, e_{14}\} \leftrightarrow \{v_3, v_5, v_1\}; & c_9 &= \{e_3, e_4, e_{17}\} \leftrightarrow \{v_4, v_5, v_1\}; \\
 c_{11} &= \{e_7, e_8, e_{13}\} \leftrightarrow \{v_3, v_4, v_2\}; & c_{12} &= \{e_7, e_9, e_{14}\} \leftrightarrow \{v_3, v_5, v_2\}; \\
 c_{15} &= \{e_8, e_9, e_{17}\} \leftrightarrow \{v_4, v_5, v_2\}; & c_{19} &= \{e_{13}, e_{14}, e_{17}\} \leftrightarrow \{v_4, v_5, v_3\}; \\
 c_{21} &= \{e_{18}, e_{19}, e_{22}\} \leftrightarrow \{v_7, v_8, v_6\}; & c_{22} &= \{e_{18}, e_{20}, e_{23}\} \leftrightarrow \{v_7, v_9, v_6\}; \\
 c_{23} &= \{e_{18}, e_{21}, e_{24}\} \leftrightarrow \{v_7, v_{10}, v_6\}; & c_{24} &= \{e_{19}, e_{20}, e_{25}\} \leftrightarrow \{v_8, v_9, v_6\}; \\
 c_{25} &= \{e_{19}, e_{21}, e_{26}\} \leftrightarrow \{v_8, v_{10}, v_6\}; & c_{26} &= \{e_{20}, e_{21}, e_{27}\} \leftrightarrow \{v_9, v_{10}, v_6\}; \\
 c_{27} &= \{e_{22}, e_{23}, e_{25}\} \leftrightarrow \{v_8, v_9, v_7\}; & c_{28} &= \{e_{22}, e_{24}, e_{26}\} \leftrightarrow \{v_8, v_{10}, v_7\}; \\
 c_{29} &= \{e_{23}, e_{24}, e_{27}\} \leftrightarrow \{v_9, v_{10}, v_7\}; & c_{30} &= \{e_{25}, e_{26}, e_{27}\} \leftrightarrow \{v_9, v_{10}, v_8\}.
 \end{aligned}$$

2.3. Выделение клики

В основной итерации произвольным образом выбираем ребро e_j , имеющее вес равный MIN_i . В подмножестве треугольных циклов C_i выбираем циклы, имеющие в своем составе ребро e_j . Выбранное подмножество циклов образует подграф H_j . Если подграф H_j соответствует полному графу, то подграф H_j является *кликой*. Если подграф H_j не является *кликой*, то к данному подграфу рекурсивно применяется процедура вычисления основной итерации и повторяется процесс определения клики.

В нашем примере выберем ребро e_4 . В подмножестве C_2 выбираем циклы:

$$c_3 = \{e_1, e_4, e_9\} \leftrightarrow \{v_2, v_5, v_1\}; \quad c_7 = \{e_2, e_4, e_{14}\} \leftrightarrow \{v_3, v_5, v_1\}; \quad c_9 = \{e_3, e_4, e_{17}\} \leftrightarrow \{v_4, v_5, v_1\}.$$

На основе выбранных циклов строим подграф $H_4 = \{v_1, v_2, v_3, v_4, v_5\}$ как объединение всех вершин выбранных циклов. Формируем подмножество циклов, вершины которых включаются в подграф H_4 :

$$\begin{aligned}
 c_1 &= \{e_1, e_2, e_7\} \leftrightarrow \{v_2, v_3, v_1\}; & c_2 &= \{e_1, e_3, e_8\} \leftrightarrow \{v_2, v_4, v_1\}; \\
 c_3 &= \{e_1, e_4, e_9\} \leftrightarrow \{v_2, v_5, v_1\}; & c_6 &= \{e_2, e_3, e_{13}\} \leftrightarrow \{v_3, v_4, v_1\}; \\
 c_7 &= \{e_2, e_4, e_{14}\} \leftrightarrow \{v_3, v_5, v_1\}; & c_9 &= \{e_3, e_4, e_{17}\} \leftrightarrow \{v_4, v_5, v_1\}; \\
 c_{11} &= \{e_7, e_8, e_{13}\} \leftrightarrow \{v_3, v_4, v_2\}; & c_{12} &= \{e_7, e_9, e_{14}\} \leftrightarrow \{v_3, v_5, v_2\}; \\
 c_{15} &= \{e_8, e_9, e_{17}\} \leftrightarrow \{v_4, v_5, v_2\}; & c_{19} &= \{e_{13}, e_{14}, e_{17}\} \leftrightarrow \{v_4, v_5, v_3\}.
 \end{aligned}$$

Это клика длиной 5, так как количество выбранных циклов соответствует полному графу, и кольцевая сумма циклов есть \emptyset .

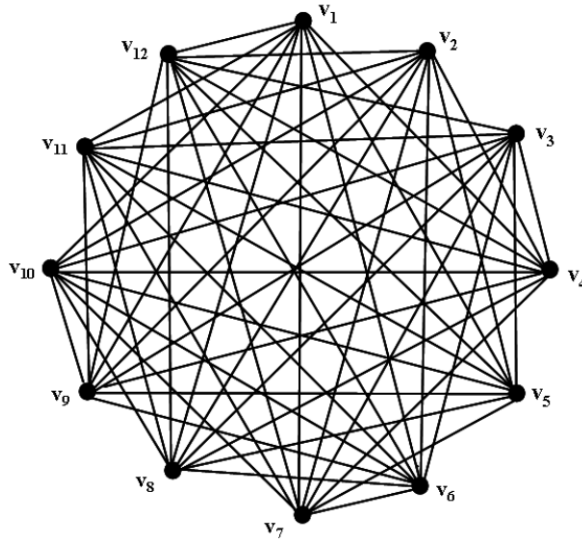


Рис. 2.2. Граф Муна-Мозера на 12 вершин.

Рассмотрим случай рекурсивного применения алгоритма выделения максимальной клики графа. В качестве примера рассмотрим граф Муна-Мозера на 12 вершин. Следует заметить, что графы Муна-Мозера являются частным случаем графов Турана.

Количество вершин графа = 12.

Количество ребер графа = 54.

Количество циклов графа длиной три = 108.

Смежность графа Муна-Мозера:

вершина	v ₁ :	v ₄	v ₅	v ₆	v ₇	v ₈	v ₉	v ₁₀	v ₁₁	v ₁₂
вершина	v ₂ :	v ₄	v ₅	v ₆	v ₇	v ₈	v ₉	v ₁₀	v ₁₁	v ₁₂
вершина	v ₃ :	v ₄	v ₅	v ₆	v ₇	v ₈	v ₉	v ₁₀	v ₁₁	v ₁₂
вершина	v ₄ :	v ₁	v ₂	v ₃	v ₇	v ₈	v ₉	v ₁₀	v ₁₁	v ₁₂
вершина	v ₅ :	v ₁	v ₂	v ₃	v ₇	v ₈	v ₉	v ₁₀	v ₁₁	v ₁₂
вершина	v ₆ :	v ₁	v ₂	v ₃	v ₇	v ₈	v ₉	v ₁₀	v ₁₁	v ₁₂
вершина	v ₇ :	v ₁	v ₂	v ₃	v ₄	v ₅	v ₆	v ₁₀	v ₁₁	v ₁₂
вершина	v ₈ :	v ₁	v ₂	v ₃	v ₄	v ₅	v ₆	v ₁₀	v ₁₁	v ₁₂
вершина	v ₉ :	v ₁	v ₂	v ₃	v ₄	v ₅	v ₆	v ₁₀	v ₁₁	v ₁₂
вершина	v ₁₀ :	v ₁	v ₂	v ₃	v ₄	v ₅	v ₆	v ₇	v ₈	v ₉
вершина	v ₁₁ :	v ₁	v ₂	v ₃	v ₄	v ₅	v ₆	v ₇	v ₈	v ₉
вершина	v ₁₂ :	v ₁	v ₂	v ₃	v ₄	v ₅	v ₆	v ₇	v ₈	v ₉

Инцидентность графа Муна-Мозера:

вершина	v ₁ :	e ₁	e ₂	e ₃	e ₄	e ₅	e ₆	e ₇	e ₈	e ₉
вершина	v ₂ :	e ₁₀	e ₁₁	e ₁₂	e ₁₃	e ₁₄	e ₁₅	e ₁₆	e ₁₇	e ₁₈
вершина	v ₃ :	e ₁₉	e ₂₀	e ₂₁	e ₂₂	e ₂₃	e ₂₄	e ₂₅	e ₂₆	e ₂₇
вершина	v ₄ :	e ₁	e ₁₀	e ₁₉	e ₂₈	e ₂₉	e ₃₀	e ₃₁	e ₃₂	e ₃₃
вершина	v ₅ :	e ₂	e ₁₁	e ₂₀	e ₃₄	e ₃₅	e ₃₆	e ₃₇	e ₃₈	e ₃₉

вершина v_6 : $e_3 e_{12} e_{21} e_{40} e_{41} e_{42} e_{43} e_{44} e_{45}$
 вершина v_7 : $e_4 e_{13} e_{22} e_{28} e_{34} e_{40} e_{46} e_{47} e_{48}$
 вершина v_8 : $e_5 e_{14} e_{23} e_{29} e_{35} e_{41} e_{49} e_{50} e_{51}$
 вершина v_9 : $e_6 e_{15} e_{24} e_{30} e_{36} e_{42} e_{52} e_{53} e_{54}$
 вершина v_{10} : $e_7 e_{16} e_{25} e_{31} e_{37} e_{43} e_{46} e_{49} e_{52}$
 вершина v_{11} : $e_8 e_{17} e_{26} e_{32} e_{38} e_{44} e_{47} e_{50} e_{53}$
 вершина v_{12} : $e_9 e_{18} e_{27} e_{33} e_{39} e_{45} e_{48} e_{51} e_{54}$

Множество циклов длиной три:

$c_1 = \{e_1, e_4, e_{28}\} \leftrightarrow \{v_4, v_7, v_1\};$ $c_2 = \{e_1, e_5, e_{29}\} \leftrightarrow \{v_4, v_8, v_1\};$
 $c_3 = \{e_1, e_6, e_{30}\} \leftrightarrow \{v_4, v_9, v_1\};$ $c_4 = \{e_1, e_7, e_{31}\} \leftrightarrow \{v_4, v_{10}, v_1\};$
 $c_5 = \{e_1, e_8, e_{32}\} \leftrightarrow \{v_4, v_{11}, v_1\};$ $c_6 = \{e_1, e_9, e_{33}\} \leftrightarrow \{v_4, v_{12}, v_1\};$
 $c_7 = \{e_2, e_4, e_{34}\} \leftrightarrow \{v_5, v_7, v_1\};$ $c_8 = \{e_2, e_5, e_{35}\} \leftrightarrow \{v_5, v_8, v_1\};$
 $c_9 = \{e_2, e_6, e_{36}\} \leftrightarrow \{v_5, v_9, v_1\};$ $c_{10} = \{e_2, e_7, e_{37}\} \leftrightarrow \{v_5, v_{10}, v_1\};$
 $c_{11} = \{e_2, e_8, e_{38}\} \leftrightarrow \{v_5, v_{11}, v_1\};$ $c_{12} = \{e_2, e_9, e_{39}\} \leftrightarrow \{v_5, v_{12}, v_1\};$
 $c_{13} = \{e_3, e_4, e_{40}\} \leftrightarrow \{v_6, v_7, v_1\};$ $c_{14} = \{e_3, e_5, e_{41}\} \leftrightarrow \{v_6, v_8, v_1\};$
 $c_{15} = \{e_3, e_6, e_{42}\} \leftrightarrow \{v_6, v_9, v_1\};$ $c_{16} = \{e_3, e_7, e_{43}\} \leftrightarrow \{v_6, v_{10}, v_1\};$
 $c_{17} = \{e_3, e_8, e_{44}\} \leftrightarrow \{v_6, v_{11}, v_1\};$ $c_{18} = \{e_3, e_9, e_{45}\} \leftrightarrow \{v_6, v_{12}, v_1\};$
 $c_{19} = \{e_4, e_7, e_{46}\} \leftrightarrow \{v_7, v_{10}, v_1\};$ $c_{20} = \{e_4, e_8, e_{47}\} \leftrightarrow \{v_7, v_{11}, v_1\};$
 $c_{21} = \{e_4, e_9, e_{48}\} \leftrightarrow \{v_7, v_{12}, v_1\};$ $c_{22} = \{e_5, e_7, e_{49}\} \leftrightarrow \{v_8, v_{10}, v_1\};$
 $c_{23} = \{e_5, e_8, e_{50}\} \leftrightarrow \{v_8, v_{11}, v_1\};$ $c_{24} = \{e_5, e_9, e_{51}\} \leftrightarrow \{v_8, v_{12}, v_1\};$
 $c_{25} = \{e_6, e_7, e_{52}\} \leftrightarrow \{v_9, v_{10}, v_1\};$ $c_{26} = \{e_6, e_8, e_{53}\} \leftrightarrow \{v_9, v_{11}, v_1\};$
 $c_{27} = \{e_6, e_9, e_{54}\} \leftrightarrow \{v_9, v_{12}, v_1\};$ $c_{28} = \{e_{10}, e_{13}, e_{28}\} \leftrightarrow \{v_4, v_7, v_2\};$
 $c_{29} = \{e_{10}, e_{14}, e_{29}\} \leftrightarrow \{v_4, v_8, v_2\};$ $c_{30} = \{e_{10}, e_{15}, e_{30}\} \leftrightarrow \{v_4, v_9, v_2\};$
 $c_{31} = \{e_{10}, e_{16}, e_{31}\} \leftrightarrow \{v_4, v_{10}, v_2\};$ $c_{32} = \{e_{10}, e_{17}, e_{32}\} \leftrightarrow \{v_4, v_{11}, v_2\};$
 $c_{33} = \{e_{10}, e_{18}, e_{33}\} \leftrightarrow \{v_4, v_{12}, v_2\};$ $c_{34} = \{e_{11}, e_{13}, e_{34}\} \leftrightarrow \{v_5, v_7, v_2\};$
 $c_{35} = \{e_{11}, e_{14}, e_{35}\} \leftrightarrow \{v_5, v_8, v_2\};$ $c_{36} = \{e_{11}, e_{15}, e_{36}\} \leftrightarrow \{v_5, v_9, v_2\};$
 $c_{37} = \{e_{11}, e_{16}, e_{37}\} \leftrightarrow \{v_5, v_{10}, v_2\};$ $c_{38} = \{e_{11}, e_{17}, e_{38}\} \leftrightarrow \{v_5, v_{11}, v_2\};$
 $c_{39} = \{e_{11}, e_{18}, e_{39}\} \leftrightarrow \{v_5, v_{12}, v_2\};$ $c_{40} = \{e_{12}, e_{13}, e_{40}\} \leftrightarrow \{v_6, v_7, v_2\};$
 $c_{41} = \{e_{12}, e_{14}, e_{41}\} \leftrightarrow \{v_6, v_8, v_2\};$ $c_{42} = \{e_{12}, e_{15}, e_{42}\} \leftrightarrow \{v_6, v_9, v_2\};$
 $c_{43} = \{e_{12}, e_{16}, e_{43}\} \leftrightarrow \{v_6, v_{10}, v_2\};$ $c_{44} = \{e_{12}, e_{17}, e_{44}\} \leftrightarrow \{v_6, v_{11}, v_2\};$
 $c_{45} = \{e_{12}, e_{18}, e_{45}\} \leftrightarrow \{v_6, v_{12}, v_2\};$ $c_{46} = \{e_{13}, e_{16}, e_{46}\} \leftrightarrow \{v_7, v_{10}, v_2\};$
 $c_{47} = \{e_{13}, e_{17}, e_{47}\} \leftrightarrow \{v_7, v_{11}, v_2\};$ $c_{48} = \{e_{13}, e_{18}, e_{48}\} \leftrightarrow \{v_7, v_{12}, v_2\};$
 $c_{49} = \{e_{14}, e_{16}, e_{49}\} \leftrightarrow \{v_8, v_{10}, v_2\};$ $c_{50} = \{e_{14}, e_{17}, e_{50}\} \leftrightarrow \{v_8, v_{11}, v_2\};$
 $c_{51} = \{e_{14}, e_{18}, e_{51}\} \leftrightarrow \{v_8, v_{12}, v_2\};$ $c_{52} = \{e_{15}, e_{16}, e_{52}\} \leftrightarrow \{v_9, v_{10}, v_2\};$
 $c_{53} = \{e_{15}, e_{17}, e_{53}\} \leftrightarrow \{v_9, v_{11}, v_2\};$ $c_{54} = \{e_{15}, e_{18}, e_{54}\} \leftrightarrow \{v_9, v_{12}, v_2\};$
 $c_{55} = \{e_{19}, e_{22}, e_{28}\} \leftrightarrow \{v_4, v_7, v_3\};$ $c_{56} = \{e_{19}, e_{23}, e_{29}\} \leftrightarrow \{v_4, v_8, v_3\};$
 $c_{57} = \{e_{19}, e_{24}, e_{30}\} \leftrightarrow \{v_4, v_9, v_3\};$ $c_{58} = \{e_{19}, e_{25}, e_{31}\} \leftrightarrow \{v_4, v_{10}, v_3\};$
 $c_{59} = \{e_{19}, e_{26}, e_{32}\} \leftrightarrow \{v_4, v_{11}, v_3\};$ $c_{60} = \{e_{19}, e_{27}, e_{33}\} \leftrightarrow \{v_4, v_{12}, v_3\};$
 $c_{61} = \{e_{20}, e_{22}, e_{34}\} \leftrightarrow \{v_5, v_7, v_3\};$ $c_{62} = \{e_{20}, e_{23}, e_{35}\} \leftrightarrow \{v_5, v_8, v_3\};$
 $c_{63} = \{e_{20}, e_{24}, e_{36}\} \leftrightarrow \{v_5, v_9, v_3\};$ $c_{64} = \{e_{20}, e_{25}, e_{37}\} \leftrightarrow \{v_5, v_{10}, v_3\};$
 $c_{65} = \{e_{20}, e_{26}, e_{38}\} \leftrightarrow \{v_5, v_{11}, v_3\};$ $c_{66} = \{e_{20}, e_{27}, e_{39}\} \leftrightarrow \{v_5, v_{12}, v_3\};$

$P = \langle 3, 3, 3, 3, 0, 0, 3, 3, 3, 0, 0, 0, 3, 3, 0, 0, 3, 3, 3, 3, 3, 3, 3, 3, 3, 3, 3 \rangle$; $MIN=3$; $MAX=3$.

Он характеризует граф, имеющий две клики максимальной длины, и клики не имеют точки сочленения (рис. 2.1).

Кортеж весов ребер для графа G_2 (рис. 2.4), имеет следующие веса $MIN \neq MAX$, и является основной итерацией:

$P = \langle 3, 5, 3, 4, 4, 5, 3, 3, 3, 3, 4, 4, 5, 3, 3, 3, 4, 4 \rangle$; $MIN=3$; $MAX=5$.

характеризует граф, имеющий клики длины 5 и точки их сочленения.

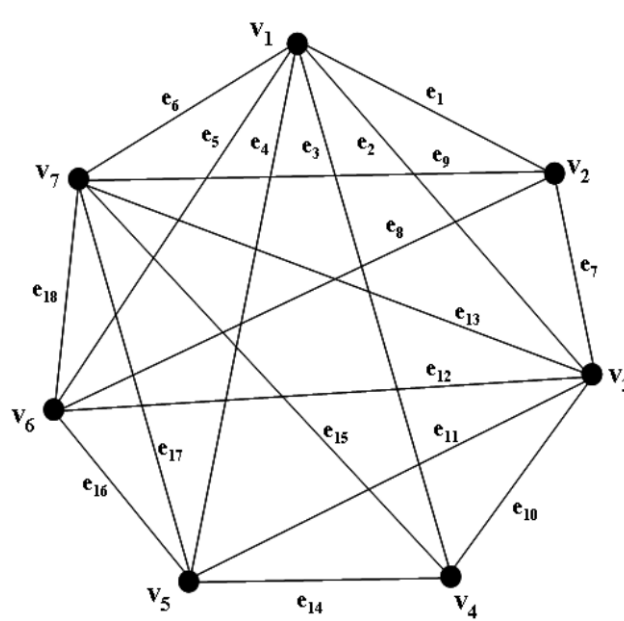


Рис. 2.4. Граф G_2 .

2.4. Алгоритм вычисления максимальной клики графа.

Опишем алгоритм выделения максимальной клики графа.

Инициализация. Задан граф G .

шаг 1. [Формирование множества циклов длины три]. В графе G выделяем множество всех циклов длиной три.

шаг 2. [Построение итерации с номером i]. Если множество треугольных циклов C_i не пусто, то строим для него кортеж весов ребер P_i . Определяем переменные MAX_i и MIN_i .

шаг 3. [Удаление циклов с участием ребер минимального веса]. Используя кортеж циклов проходящих по ребрам P_i , определяем ребра с весом равным MIN . Формируем подмножество циклов Q_i с участием ребер минимального веса. Вычисляем подмножество $C_{i+1} = C_i \setminus Q_i$. Если подмножество C_{i+1} не пусто, то идем на шаг 2. Иначе на шаг 4.

шаг 4. [Определение основной итерации]. Из множества итераций выбираем основную итерацию с максимальным значением величины MIN .

шаг 5. [Выделение подграфа H]. Определяем ребро с минимальным весом в основной итерации. Выделяем циклы, содержащие ребро e_i , и строим подграф, содержащий все вершины данного подмножества циклов. Определяем треугольные циклы, образующие подграф. Если этот подграф клика, то конец работы алгоритма, в противном случае к этому подграфу рекурсивно применяется алгоритм выделения клики графа.

Вычислительная сложность алгоритма определяется аддитивным сложением количества элементарных операций для последовательных шагов алгоритма в худшем случае [1]:

- количество циклов длиной три в графе в нашем случае приближённо равно n^3 ;
- количество операций для построения кортежа весов ребер в итерации с номером i можно рассчитать как количество ребер во множестве треугольных циклов – приближенно $3n^3$;
- количество операций для определения основной итерации можно рассчитать, как произведение всех итераций (количество треугольных циклов) на величину количества операций для построения кортежа весов – примерно $n^3 3n^3 = 3n^6$;
- количество операций для поиска циклов, составляющих подграф относительно выбранного ребра во множестве треугольных циклов – приближенно n^3 .

Таким образом, количество элементарных операций можно определить по формуле $n^3 + 3n^6 + n^3$. С учётом рекурсии формулу можно представить как $2(n^3 + 3n^6 + n^3)$. Следовательно, вычислительная сложность алгоритма определения максимальной клики графа $O(n^6)$.

Задача выделения максимальной клики графа является задачей с полиномиальной вычислительной сложностью. Количество максимальных клик в графах Муна-Мозера увеличивается экспоненциально с увеличением количества вершин. Поэтому задача перечисления всех максимальных клик графа является задачей с экспоненциальной вычислительной сложностью.

Основу алгоритма составляет выделение множества треугольных циклов графа, что позволяет осуществлять решение используя как подпространство циклов $C(G)$, так и подпространство разрезов графа $S(G)$.

2.5. Рекуррентный процесс построения суграфов

Удаление циклов длиной три порождает рекурсивный процесс построения суграфов (рис. 2.5 – 2.8).

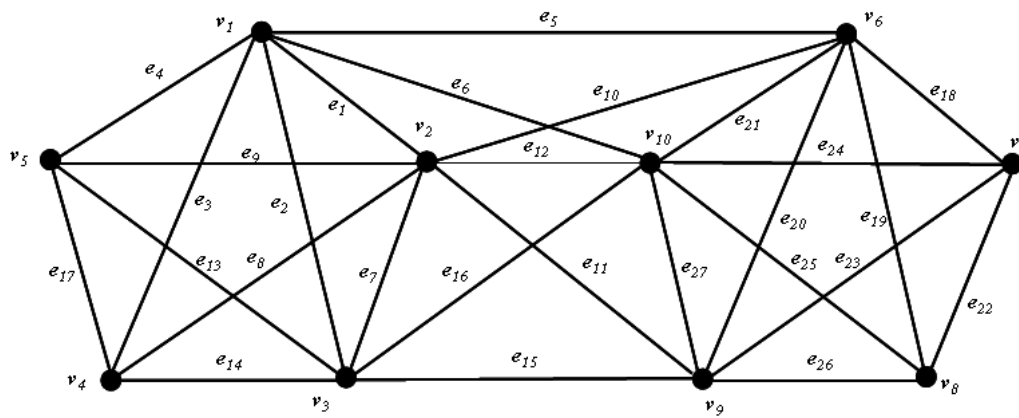


Рис. 2.5. Суграф 0-итерации.

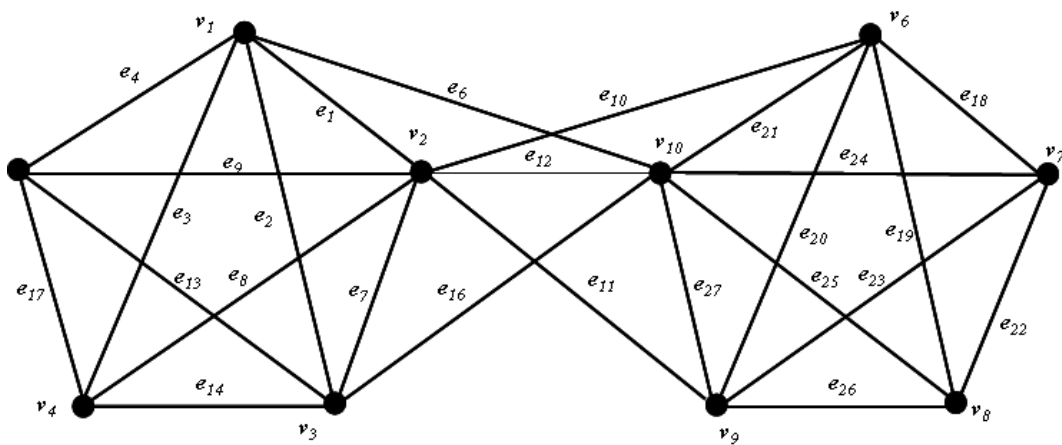


Рис. 2.6. Суграф 1-й итерации.

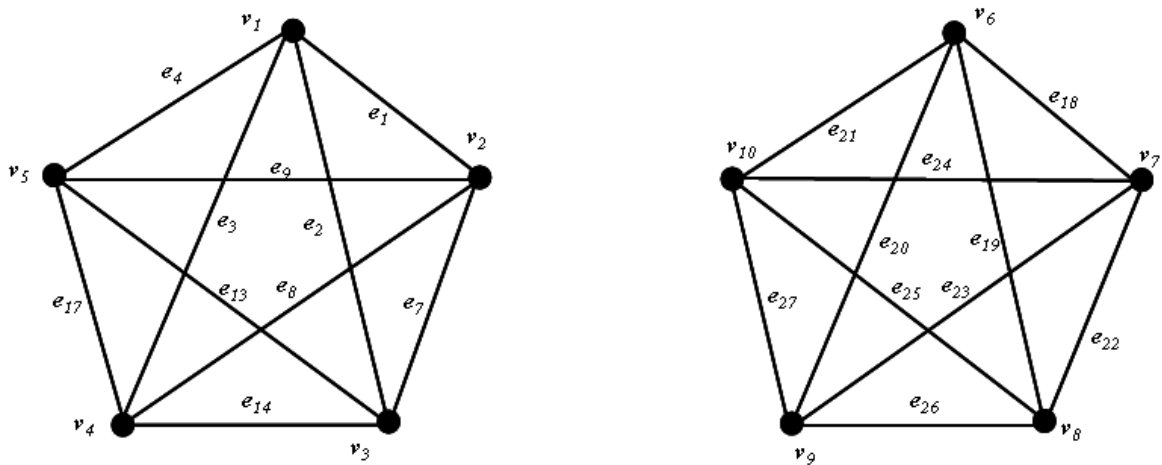


Рис. 2.7. Суграф 2-й итерации.

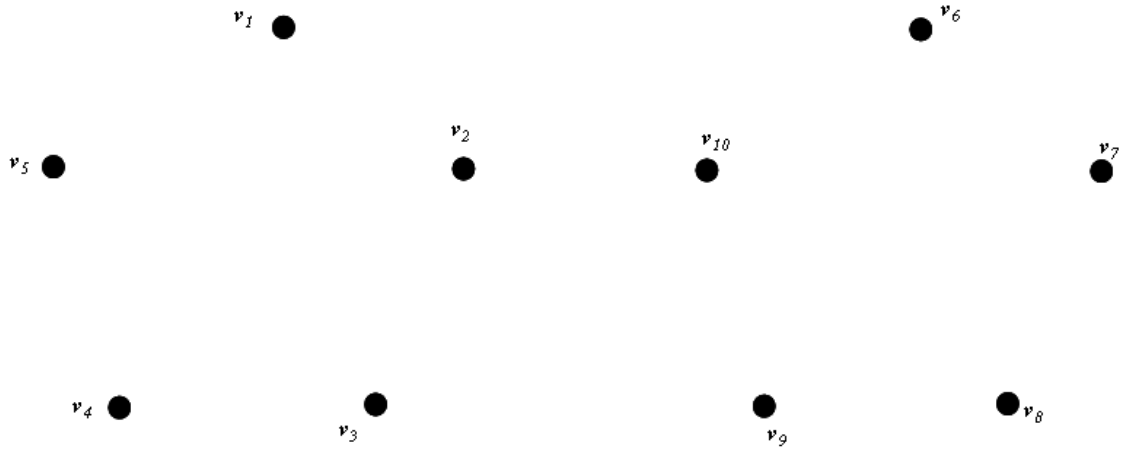


Рис. 2.8. Суграф 3-й итерации.

2.6. Рекуррентный процесс построения подграфов

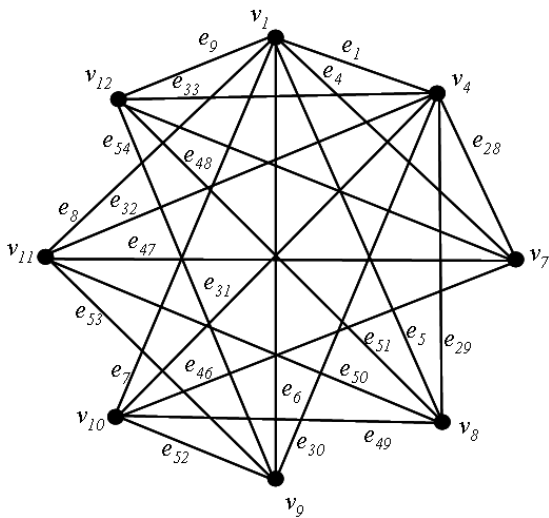


Рис. 2.9. Подграф графа Муна-Мозера относительно ребра e_1 .

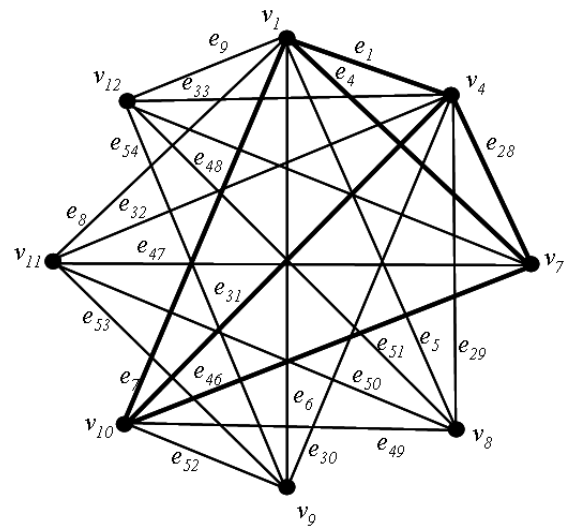


Рис. 2.10. Клика графа Муна-Мозера относительно ребер e_1 и e_{46} .

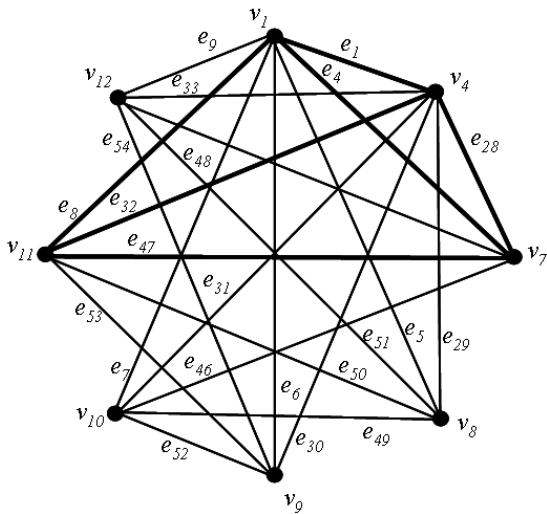


Рис. 2.11. Клика графа Муна-Мозера относительно ребер e_1 и e_{47} .

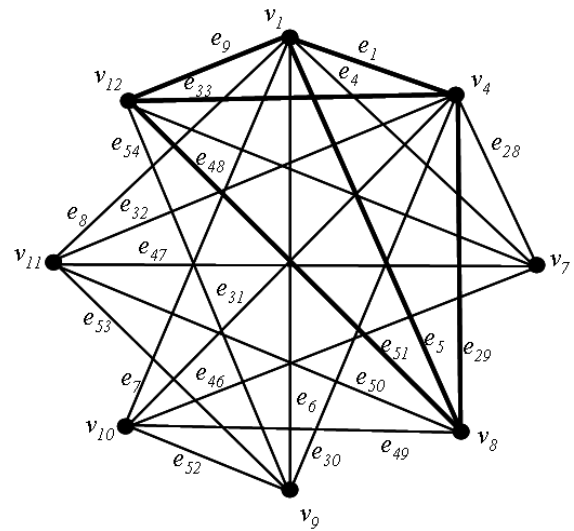


Рис. 2.12. Клика графа Муна-Мозера относительно ребер e_1 и e_{48} .

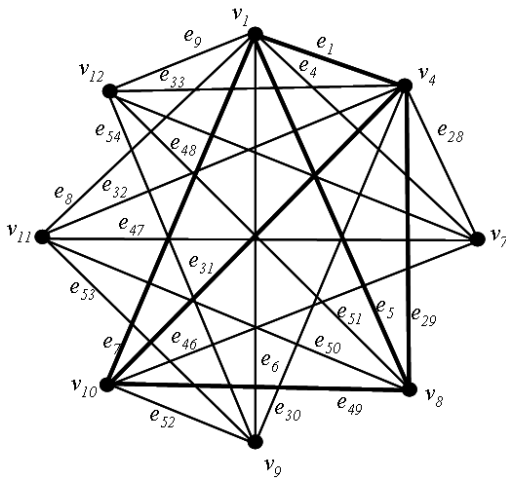


Рис. 2.13. Клика графа Муна-Мозера относительно ребер e_1 и e_{49} .

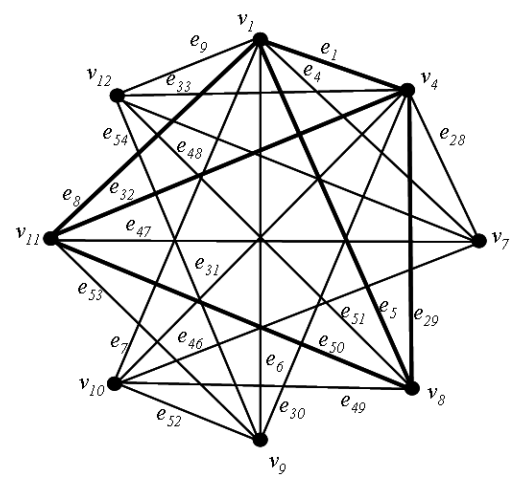


Рис. 2.14. Клика графа Муна-Мозера относительно ребер e_1 и e_{50} .

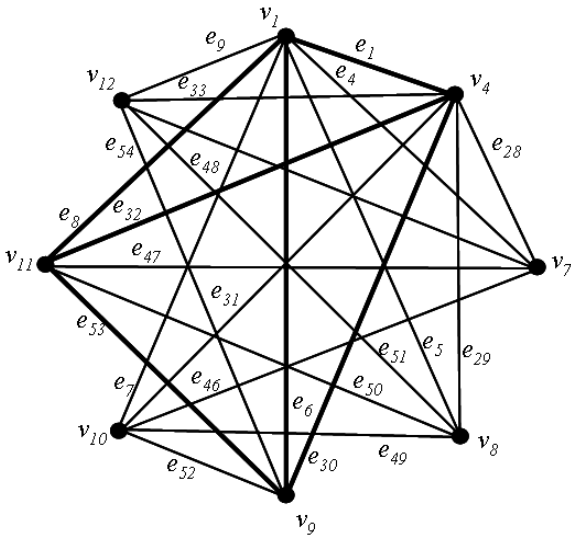


Рис. 2.17. Клика графа Муна-Мозера относительно ребер e_1 и e_{53} .

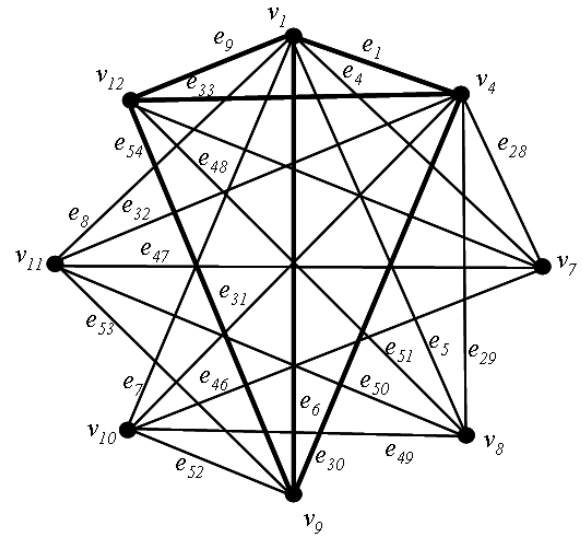


Рис. 2.18. Клика графа Муна-Мозера относительно ребер e_1 и e_{54} .

Рассмотрим граф G_2 (рис. 2.19), имеющий в своем составе следующие циклы длиной три:

$$\begin{array}{ll}
 c_1 = \{e_1, e_2, e_7\} \leftrightarrow \{v_1, v_2, v_3\}; & c_2 = \{e_1, e_5, e_8\} \leftrightarrow \{v_1, v_2, v_6\}; \\
 c_3 = \{e_1, e_6, e_9\} \leftrightarrow \{v_1, v_2, v_7\}; & c_4 = \{e_2, e_3, e_{10}\} \leftrightarrow \{v_1, v_3, v_4\}; \\
 c_5 = \{e_2, e_4, e_{11}\} \leftrightarrow \{v_1, v_3, v_5\}; & c_6 = \{e_2, e_5, e_{12}\} \leftrightarrow \{v_1, v_3, v_6\}; \\
 c_7 = \{e_2, e_6, e_{13}\} \leftrightarrow \{v_1, v_3, v_7\}; & c_8 = \{e_3, e_4, e_{14}\} \leftrightarrow \{v_1, v_4, v_5\}; \\
 c_9 = \{e_3, e_6, e_{15}\} \leftrightarrow \{v_1, v_4, v_7\}; & c_{10} = \{e_4, e_5, e_{16}\} \leftrightarrow \{v_1, v_5, v_6\}; \\
 c_{11} = \{e_4, e_6, e_{17}\} \leftrightarrow \{v_1, v_5, v_7\}; & c_{12} = \{e_5, e_6, e_{18}\} \leftrightarrow \{v_1, v_6, v_7\}; \\
 c_{13} = \{e_7, e_8, e_{12}\} \leftrightarrow \{v_2, v_3, v_6\}; & c_{14} = \{e_7, e_9, e_{13}\} \leftrightarrow \{v_2, v_3, v_7\}; \\
 c_{15} = \{e_8, e_9, e_{18}\} \leftrightarrow \{v_2, v_6, v_7\}; & c_{16} = \{e_{10}, e_{11}, e_{14}\} \leftrightarrow \{v_3, v_4, v_5\}; \\
 c_{17} = \{e_{10}, e_{13}, e_{15}\} \leftrightarrow \{v_3, v_4, v_7\}; & c_{18} = \{e_{11}, e_{12}, e_{16}\} \leftrightarrow \{v_3, v_5, v_6\}; \\
 c_{19} = \{e_{11}, e_{13}, e_{17}\} \leftrightarrow \{v_3, v_5, v_7\}; & c_{20} = \{e_{12}, e_{13}, e_{18}\} \leftrightarrow \{v_3, v_6, v_7\}; \\
 c_{21} = \{e_{14}, e_{15}, e_{17}\} \leftrightarrow \{v_4, v_5, v_7\}; & c_{22} = \{e_{16}, e_{17}, e_{18}\} \leftrightarrow \{v_5, v_6, v_7\}.
 \end{array}$$

Возможны такие варианты:

а) по ребру e_1 проходят циклы:

$$\begin{array}{ll}
 c_1 = \{e_1, e_2, e_7\} \leftrightarrow \{v_1, v_2, v_3\}; & c_2 = \{e_1, e_5, e_8\} \leftrightarrow \{v_1, v_2, v_6\}; \\
 c_3 = \{e_1, e_6, e_9\} \leftrightarrow \{v_1, v_2, v_7\}; &
 \end{array}$$

вершинами циклов порождается подграф $\{v_1, v_2, v_3, v_6, v_7\}$ (рис. 2.20);

б) по ребру e_3 проходят циклы:

$$\begin{array}{ll}
 c_4 = \{e_2, e_3, e_{10}\} \leftrightarrow \{v_1, v_3, v_4\}; & c_8 = \{e_3, e_4, e_{14}\} \leftrightarrow \{v_1, v_4, v_5\}; \\
 c_9 = \{e_3, e_6, e_{15}\} \leftrightarrow \{v_1, v_4, v_7\}; &
 \end{array}$$

вершинами циклов порождается подграф $\{v_1, v_3, v_4, v_5, v_7\}$ (рис. 2.21);

с) по ребру e_7 проходят циклы:

$$\begin{array}{ll}
 c_1 = \{e_1, e_2, e_7\} \leftrightarrow \{v_1, v_2, v_3\}; & c_{13} = \{e_7, e_8, e_{12}\} \leftrightarrow \{v_2, v_3, v_6\}; \\
 c_{14} = \{e_7, e_9, e_{13}\} \leftrightarrow \{v_2, v_3, v_7\}; &
 \end{array}$$

вершинами циклов порождается подграф $\{v_1, v_2, v_3, v_6, v_7\}$ (рис. 2.22);

d) по ребру e_8 проходят циклы:

$$c_1 = \{e_1, e_5, e_8\} \leftrightarrow \{v_1, v_2, v_6\}; \quad c_{13} = \{e_7, e_8, e_{12}\} \leftrightarrow \{v_2, v_3, v_6\};$$

$$c_{15} = \{e_8, e_9, e_{18}\} \leftrightarrow \{v_2, v_6, v_7\};$$

вершинами циклов порождается подграф $\{v_1, v_2, v_3, v_6, v_7\}$ (рис. 2.23);

e) по ребру e_9 проходят циклы:

$$c_3 = \{e_1, e_6, e_9\} \leftrightarrow \{v_1, v_2, v_7\}; \quad c_{14} = \{e_7, e_9, e_{13}\} \leftrightarrow \{v_2, v_3, v_7\};$$

$$c_{15} = \{e_8, e_9, e_{18}\} \leftrightarrow \{v_2, v_6, v_7\};$$

вершинами циклов порождается подграф $\{v_1, v_2, v_3, v_6, v_7\}$ (рис. 2.24);

f) по ребру e_{10} проходят циклы:

$$c_4 = \{e_2, e_3, e_{10}\} \leftrightarrow \{v_1, v_3, v_4\}; \quad c_{16} = \{e_{10}, e_{11}, e_{14}\} \leftrightarrow \{v_3, v_4, v_5\};$$

$$c_{17} = \{e_{10}, e_{13}, e_{15}\} \leftrightarrow \{v_3, v_4, v_7\};$$

вершинами циклов порождается подграф $\{v_1, v_3, v_4, v_6, v_7\}$ (рис. 2.25);

g) по ребру e_{14} проходят циклы:

$$c_8 = \{e_3, e_4, e_{14}\} \leftrightarrow \{v_1, v_4, v_5\}; \quad c_{16} = \{e_{10}, e_{11}, e_{14}\} \leftrightarrow \{v_3, v_4, v_5\};$$

$$c_{21} = \{e_{14}, e_{15}, e_{17}\} \leftrightarrow \{v_4, v_5, v_7\};$$

вершинами циклов порождается подграф $\{v_1, v_3, v_4, v_5, v_7\}$ (рис. 2.26);

h) по ребру e_{15} проходят циклы:

$$c_9 = \{e_3, e_6, e_{15}\} \leftrightarrow \{v_1, v_4, v_7\}; \quad c_{17} = \{e_{10}, e_{13}, e_{15}\} \leftrightarrow \{v_3, v_4, v_7\};$$

$$c_{21} = \{e_{14}, e_{15}, e_{17}\} \leftrightarrow \{v_4, v_5, v_7\};$$

вершинами циклов порождается подграф $\{v_1, v_3, v_4, v_5, v_7\}$ (рис. 2.27);

i) по ребру e_{16} проходят циклы:

$$c_{10} = \{e_4, e_5, e_{16}\} \leftrightarrow \{v_1, v_5, v_6\}; \quad c_{18} = \{e_{11}, e_{12}, e_{16}\} \leftrightarrow \{v_3, v_5, v_6\};$$

$$c_{22} = \{e_{16}, e_{17}, e_{18}\} \leftrightarrow \{v_5, v_6, v_7\};$$

вершинами циклов порождается подграф $\{v_1, v_3, v_5, v_6, v_7\}$ (рис. 2.28).

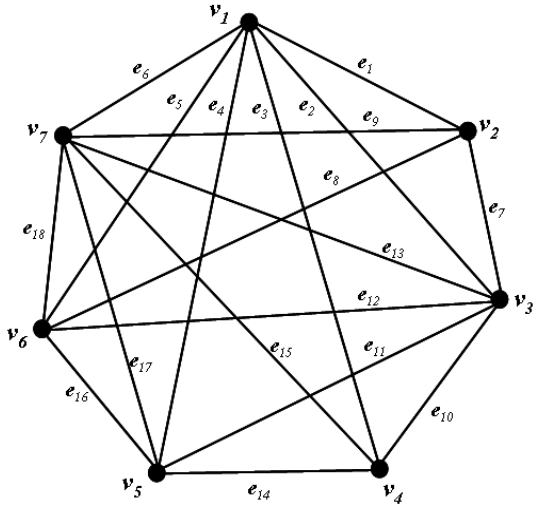


Рис. 2.19. Граф G_2 .

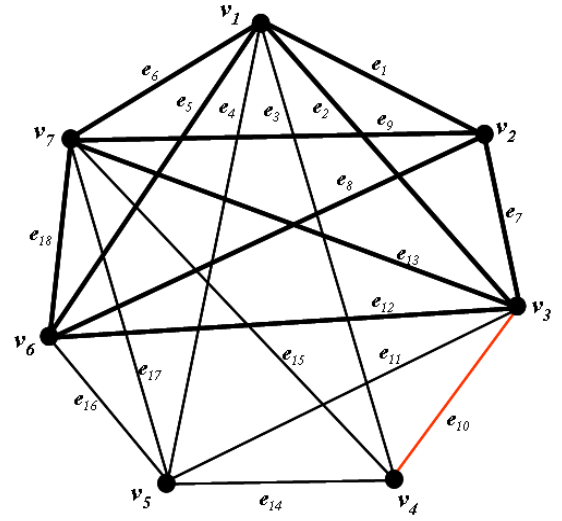


Рис. 2.20. Клика G_2 относительно ребра e_1 .

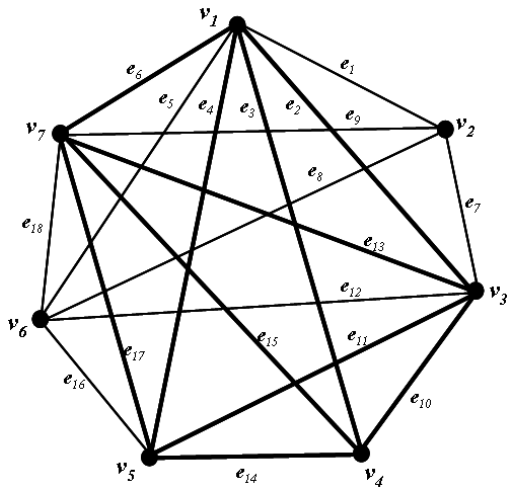


Рис. 2.21. Клика G_2 относительно ребра e_3 .

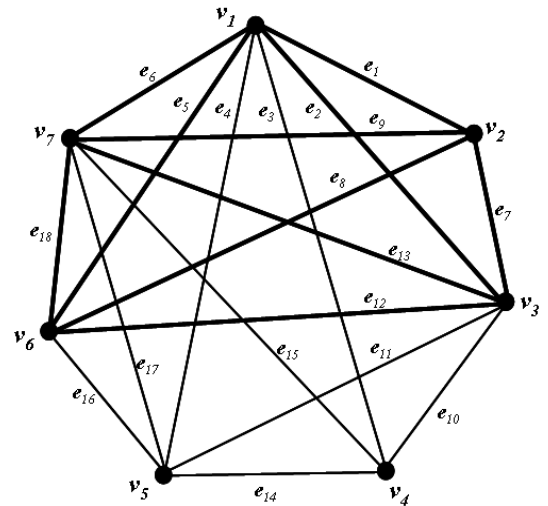


Рис. 2.22. Клика G_2 относительно ребра e_7 .

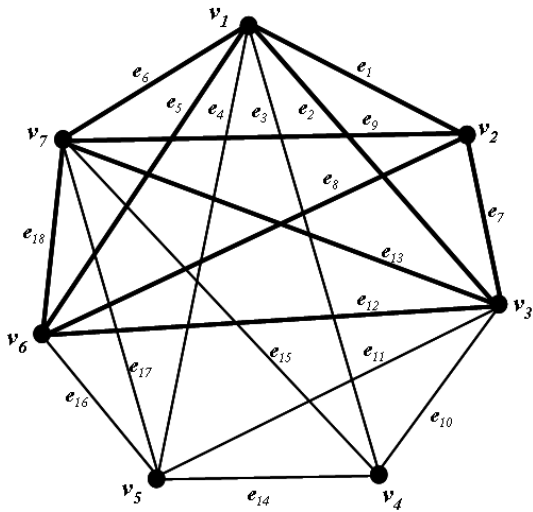


Рис. 2.23. Клика G_2 относительно ребра e_8 .

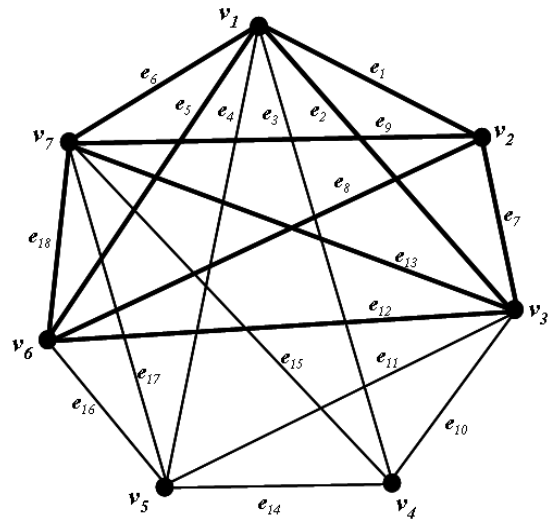


Рис. 2.24. Клика G_2 относительно ребра e_9 .

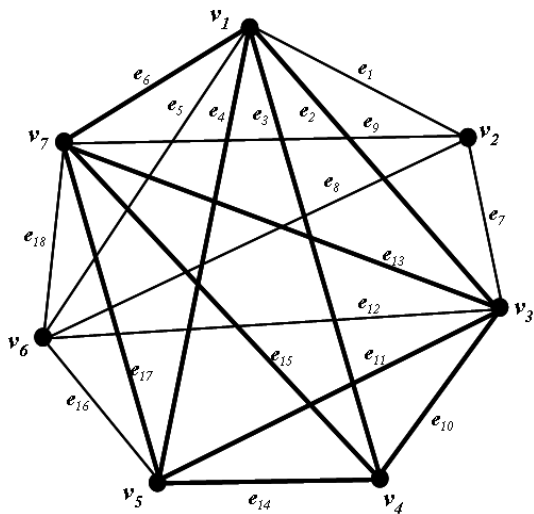


Рис. 2.25. Клика G_2 относительно ребра e_{10} .

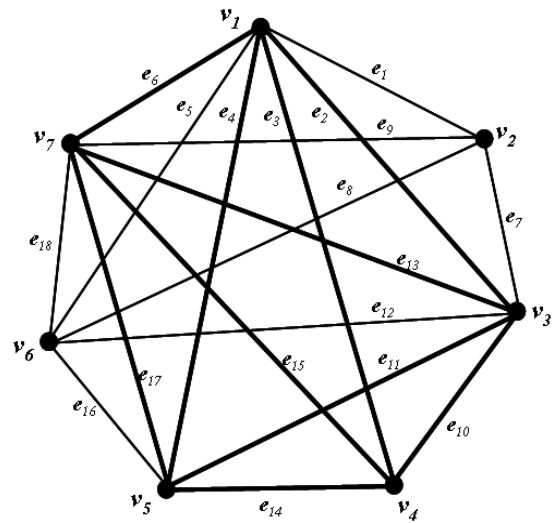


Рис. 2.26. Клика G_2 относительно ребра e_{14} .

Варианты (а), (с), (d), (е) порождают клику $\{v_1, v_2, v_3, v_6, v_7\}$. Варианты (b), (g), (h) порождают клику $\{v_1, v_3, v_4, v_5, v_7\}$. Вариант (f) порождает клику $\{v_1, v_3, v_4, v_6, v_7\}$. Вариант (i) порождает клику $\{v_1, v_3, v_5, v_6, v_7\}$.

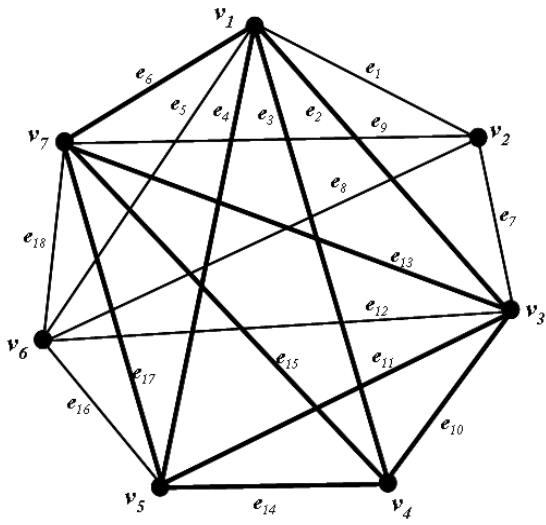


Рис. 2.27. Клика G_2 относительно ребра e_{15} .

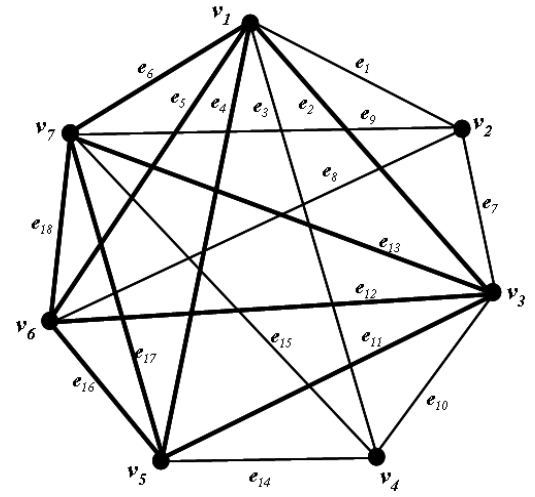


Рис. 2.28. Клика G_2 относительно ребра e_{16} .

Глава 3. Выделение максимальной клики

3.1. Выделение максимальной клики в графе G_3

Рассмотрим алгоритм выделения клики максимальной длины в несепарабельном графе. Под длиной клики будем подразумевать количество её вершин. Начнём с примера графа, представленного на рис. 3.1.

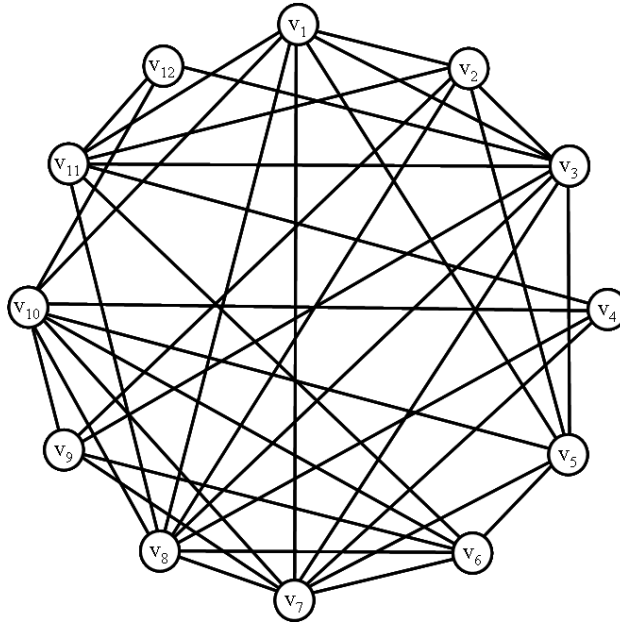


Рис. 3.1. Граф G_3 .

Количество вершин графа = 12, количество ребер графа = 38, количество треугольных циклов графа = 39.

Смежность графа:

вершина v_1 : $\{v_2, v_3, v_5, v_7, v_8, v_{10}, v_{11}\}$;

вершина v_2 : $\{v_1, v_3, v_5, v_8, v_9, v_{11}\}$;

вершина v_3 : $\{v_1, v_2, v_5, v_7, v_8, v_9, v_{11}, v_{12}\}$;

вершина v_4 : $\{v_7, v_8, v_{10}, v_{11}\}$;

вершина v_5 : $\{v_1, v_2, v_3, v_6, v_7, v_{10}\}$;

вершина v_6 : $\{v_5, v_7, v_8, v_9, v_{10}, v_{11}\}$;

вершина v_7 : $\{v_1, v_3, v_4, v_5, v_6, v_8, v_9, v_{10}\}$;

вершина v_8 : $\{v_1, v_2, v_3, v_4, v_6, v_7, v_{10}, v_{11}\}$;

вершина v_9 : $\{v_2, v_3, v_6, v_7, v_{10}\}$;

вершина v_{10} : $\{v_1, v_4, v_5, v_6, v_7, v_8, v_9, v_{12}\}$;

вершина v_{11} : $\{v_1, v_2, v_3, v_4, v_6, v_8, v_{12}\}$;

вершина v_{12} : $\{v_3, v_{10}, v_{11}\}$.

Инцидентность графа:

вершина v_1 : $\{e_1, e_2, e_3, e_4, e_5, e_6, e_7\}$;

вершина v_2 : $\{e_1, e_8, e_9, e_{10}, e_{11}, e_{12}\}$;

вершина v_3 : $\{e_2, e_8, e_{13}, e_{14}, e_{15}, e_{16}, e_{17}, e_{18}\}$;

вершина v_4 : $\{e_{19}, e_{20}, e_{21}, e_{22}\}$;

вершина v_5 : $\{e_3, e_9, e_{13}, e_{23}, e_{24}, e_{25}\}$;
 вершина v_6 : $\{e_{23}, e_{26}, e_{27}, e_{28}, e_{29}, e_{30}\}$;
 вершина v_7 : $\{e_4, e_{14}, e_{19}, e_{24}, e_{26}, e_{31}, e_{32}, e_{33}\}$;
 вершина v_8 : $\{e_5, e_{10}, e_{15}, e_{20}, e_{27}, e_{31}, e_{34}, e_{35}\}$;
 вершина v_9 : $\{e_{11}, e_{16}, e_{28}, e_{32}, e_{36}\}$;
 вершина v_{10} : $\{e_6, e_{21}, e_{25}, e_{29}, e_{33}, e_{34}, e_{36}, e_{37}\}$;
 вершина v_{11} : $\{e_7, e_{12}, e_{17}, e_{22}, e_{30}, e_{35}, e_{38}\}$;
 вершина v_{12} : $\{e_{18}, e_{37}, e_{38}\}$.

Множество треугольных циклов в графе:

$c_1 = \{e_1, e_2, e_8\} \leftrightarrow \{v_2, v_3, v_1\}$;	$c_2 = \{e_1, e_3, e_9\} \leftrightarrow \{v_2, v_5, v_1\}$;
$c_3 = \{e_1, e_5, e_{10}\} \leftrightarrow \{v_2, v_8, v_1\}$;	$c_4 = \{e_1, e_7, e_{12}\} \leftrightarrow \{v_2, v_{11}, v_1\}$;
$c_5 = \{e_2, e_3, e_{13}\} \leftrightarrow \{v_3, v_5, v_1\}$;	$c_6 = \{e_2, e_4, e_{14}\} \leftrightarrow \{v_3, v_7, v_1\}$;
$c_7 = \{e_2, e_5, e_{15}\} \leftrightarrow \{v_3, v_8, v_1\}$;	$c_8 = \{e_2, e_7, e_{17}\} \leftrightarrow \{v_3, v_{11}, v_1\}$;
$c_9 = \{e_3, e_4, e_{24}\} \leftrightarrow \{v_5, v_7, v_1\}$;	$c_{10} = \{e_3, e_6, e_{25}\} \leftrightarrow \{v_5, v_{10}, v_1\}$;
$c_{11} = \{e_4, e_5, e_{31}\} \leftrightarrow \{v_7, v_8, v_1\}$;	$c_{12} = \{e_4, e_6, e_{33}\} \leftrightarrow \{v_7, v_{10}, v_1\}$;
$c_{13} = \{e_5, e_6, e_{34}\} \leftrightarrow \{v_8, v_{10}, v_1\}$;	$c_{14} = \{e_5, e_7, e_{35}\} \leftrightarrow \{v_8, v_{11}, v_1\}$;
$c_{15} = \{e_8, e_9, e_{13}\} \leftrightarrow \{v_3, v_5, v_2\}$;	$c_{16} = \{e_8, e_{10}, e_{15}\} \leftrightarrow \{v_3, v_8, v_2\}$;
$c_{17} = \{e_8, e_{11}, e_{16}\} \leftrightarrow \{v_3, v_9, v_2\}$;	$c_{18} = \{e_8, e_{12}, e_{17}\} \leftrightarrow \{v_3, v_{11}, v_2\}$;
$c_{19} = \{e_{10}, e_{12}, e_{35}\} \leftrightarrow \{v_8, v_{11}, v_2\}$;	$c_{20} = \{e_{13}, e_{14}, e_{24}\} \leftrightarrow \{v_5, v_7, v_3\}$;
$c_{21} = \{e_{14}, e_{15}, e_{31}\} \leftrightarrow \{v_7, v_8, v_3\}$;	$c_{22} = \{e_{14}, e_{16}, e_{32}\} \leftrightarrow \{v_7, v_9, v_3\}$;
$c_{23} = \{e_{15}, e_{17}, e_{35}\} \leftrightarrow \{v_8, v_{11}, v_3\}$;	$c_{24} = \{e_{17}, e_{18}, e_{38}\} \leftrightarrow \{v_{11}, v_{12}, v_3\}$;
$c_{25} = \{e_{19}, e_{20}, e_{31}\} \leftrightarrow \{v_7, v_8, v_4\}$;	$c_{26} = \{e_{19}, e_{21}, e_{33}\} \leftrightarrow \{v_7, v_{10}, v_4\}$;
$c_{27} = \{e_{20}, e_{21}, e_{34}\} \leftrightarrow \{v_8, v_{10}, v_4\}$;	$c_{28} = \{e_{20}, e_{22}, e_{35}\} \leftrightarrow \{v_8, v_{11}, v_4\}$;
$c_{29} = \{e_{23}, e_{24}, e_{26}\} \leftrightarrow \{v_6, v_7, v_5\}$;	$c_{30} = \{e_{23}, e_{25}, e_{29}\} \leftrightarrow \{v_6, v_{10}, v_5\}$;
$c_{31} = \{e_{24}, e_{25}, e_{33}\} \leftrightarrow \{v_7, v_{10}, v_5\}$;	$c_{32} = \{e_{26}, e_{27}, e_{31}\} \leftrightarrow \{v_7, v_8, v_6\}$;
$c_{33} = \{e_{26}, e_{28}, e_{32}\} \leftrightarrow \{v_7, v_9, v_6\}$;	$c_{34} = \{e_{26}, e_{29}, e_{33}\} \leftrightarrow \{v_7, v_{10}, v_6\}$;
$c_{35} = \{e_{27}, e_{29}, e_{34}\} \leftrightarrow \{v_8, v_{10}, v_6\}$;	$c_{36} = \{e_{27}, e_{30}, e_{35}\} \leftrightarrow \{v_8, v_{11}, v_6\}$;
$c_{37} = \{e_{28}, e_{29}, e_{36}\} \leftrightarrow \{v_9, v_{10}, v_6\}$;	$c_{38} = \{e_{31}, e_{33}, e_{34}\} \leftrightarrow \{v_8, v_{10}, v_7\}$;
$c_{39} = \{e_{32}, e_{33}, e_{36}\} \leftrightarrow \{v_9, v_{10}, v_7\}$.	

Определяем количество треугольных циклов, проходящих по ребру, то есть, строим вектор P_e по ребру.

Итерация 1

$P_e = \langle 4, 5, 4, 4, 5, 3, 3, 5, 2, 3, 1, 3, 3, 4, 4, 2, 4, 1, 2, 3, 2, 1, 2, 4, 3, 4, 3, 2, 4, 1, 5, 3, 6, 4, 5, 2, 0, 1 \rangle$;

В векторе циклов по ребру, по первому ребру проходит 4 треугольных цикла, по второму ребру проходит 5 циклов, по третьему – 4 цикла и т.д. Вычисляем максимальное и минимальное значения элементов в векторе по ребрам.

$MAX = 6$; $MIN = 1$

Определяем ребра, по которым проходит минимальное количество треугольных циклов равно MIN . Это ребра $e_{11}, e_{18}, e_{22}, e_{30}, e_{38}$. Удаляем из множества циклов те, которые имеют в своем составе выбранные ребра:

$c_{17} = \{e_8, e_{11}, e_{16}\} \leftrightarrow \{v_3, v_9, v_2\}$;

$$\begin{aligned}c_{24} &= \{e_{17}, e_{18}, e_{38}\} \leftrightarrow \{v_{11}, v_{12}, v_3\}; \\c_{28} &= \{e_{20}, e_{22}, e_{35}\} \leftrightarrow \{v_8, v_{11}, v_4\}; \\c_{36} &= \{e_{27}, e_{30}, e_{35}\} \leftrightarrow \{v_8, v_{11}, v_6\}.\end{aligned}$$

Множество треугольных циклов в графе:

$$\begin{aligned}c_1 &= \{e_1, e_2, e_8\} \leftrightarrow \{v_2, v_3, v_1\}; & c_2 &= \{e_1, e_3, e_9\} \leftrightarrow \{v_2, v_5, v_1\}; \\c_3 &= \{e_1, e_5, e_{10}\} \leftrightarrow \{v_2, v_8, v_1\}; & c_4 &= \{e_1, e_7, e_{12}\} \leftrightarrow \{v_2, v_{11}, v_1\}; \\c_5 &= \{e_2, e_3, e_{13}\} \leftrightarrow \{v_3, v_5, v_1\}; & c_6 &= \{e_2, e_4, e_{14}\} \leftrightarrow \{v_3, v_7, v_1\}; \\c_7 &= \{e_2, e_5, e_{15}\} \leftrightarrow \{v_3, v_8, v_1\}; & c_8 &= \{e_2, e_7, e_{17}\} \leftrightarrow \{v_3, v_{11}, v_1\}; \\c_9 &= \{e_3, e_4, e_{24}\} \leftrightarrow \{v_5, v_7, v_1\}; & c_{10} &= \{e_3, e_6, e_{25}\} \leftrightarrow \{v_5, v_{10}, v_1\}; \\c_{11} &= \{e_4, e_5, e_{31}\} \leftrightarrow \{v_7, v_8, v_1\}; & c_{12} &= \{e_4, e_6, e_{33}\} \leftrightarrow \{v_7, v_{10}, v_1\}; \\c_{13} &= \{e_5, e_6, e_{34}\} \leftrightarrow \{v_8, v_{10}, v_1\}; & c_{14} &= \{e_5, e_7, e_{35}\} \leftrightarrow \{v_8, v_{11}, v_1\}; \\c_{15} &= \{e_8, e_9, e_{13}\} \leftrightarrow \{v_3, v_5, v_2\}; & c_{16} &= \{e_8, e_{10}, e_{15}\} \leftrightarrow \{v_3, v_8, v_2\}; \\c_{18} &= \{e_8, e_{12}, e_{17}\} \leftrightarrow \{v_3, v_{11}, v_2\}; & c_{19} &= \{e_{10}, e_{12}, e_{35}\} \leftrightarrow \{v_8, v_{11}, v_2\}; \\c_{20} &= \{e_{13}, e_{14}, e_{24}\} \leftrightarrow \{v_5, v_7, v_3\}; & c_{21} &= \{e_{14}, e_{15}, e_{31}\} \leftrightarrow \{v_7, v_8, v_3\}; \\c_{22} &= \{e_{14}, e_{16}, e_{32}\} \leftrightarrow \{v_7, v_9, v_3\}; & c_{23} &= \{e_{15}, e_{17}, e_{35}\} \leftrightarrow \{v_8, v_{11}, v_3\}; \\c_{25} &= \{e_{19}, e_{20}, e_{31}\} \leftrightarrow \{v_7, v_8, v_4\}; & c_{26} &= \{e_{19}, e_{21}, e_{33}\} \leftrightarrow \{v_7, v_{10}, v_4\}; \\c_{27} &= \{e_{20}, e_{21}, e_{34}\} \leftrightarrow \{v_8, v_{10}, v_4\}; & c_{29} &= \{e_{23}, e_{24}, e_{26}\} \leftrightarrow \{v_6, v_7, v_5\}; \\c_{30} &= \{e_{23}, e_{25}, e_{29}\} \leftrightarrow \{v_6, v_{10}, v_5\}; & c_{31} &= \{e_{24}, e_{25}, e_{33}\} \leftrightarrow \{v_7, v_{10}, v_5\}; \\c_{32} &= \{e_{26}, e_{27}, e_{31}\} \leftrightarrow \{v_7, v_8, v_6\}; & c_{33} &= \{e_{26}, e_{28}, e_{32}\} \leftrightarrow \{v_7, v_9, v_6\}; \\c_{34} &= \{e_{26}, e_{29}, e_{33}\} \leftrightarrow \{v_7, v_{10}, v_6\}; & c_{35} &= \{e_{27}, e_{29}, e_{34}\} \leftrightarrow \{v_8, v_{10}, v_6\}; \\c_{37} &= \{e_{28}, e_{29}, e_{36}\} \leftrightarrow \{v_9, v_{10}, v_6\}; & c_{38} &= \{e_{31}, e_{33}, e_{34}\} \leftrightarrow \{v_8, v_{10}, v_7\}; \\c_{39} &= \{e_{32}, e_{33}, e_{36}\} \rightarrow \{v_9, v_{10}, v_7\}.\end{aligned}$$

Итерация 2

Строим вектор по ребру $P_e =$

$$= \langle 4, 5, 4, 4, 5, 3, 3, 4, 2, 3, 0, 3, 3, 4, 4, 1, 3, 0, 2, 2, 2, 0, 2, 4, 3, 4, 2, 2, 4, 0, 5, 3, 6, 4, 3, 2, 0, 0 \rangle;$$

$$\text{MAX} = 6; \text{MIN} = 1$$

Определяем ребра, по которым проходит минимальное количество треугольных циклов равное MIN. Это ребро e_{16} . Удаляем из множества цикл c_{22} имеющий в своем составе ребро e_{16} :

$$c_{22} = \{e_{14}, e_{16}, e_{32}\} \rightarrow \{v_7, v_9, v_3\};$$

После удаления множество треугольных циклов имеет вид:

$$\begin{aligned}c_1 &= \{e_1, e_2, e_8\} \leftrightarrow \{v_2, v_3, v_1\}; & c_2 &= \{e_1, e_3, e_9\} \leftrightarrow \{v_2, v_5, v_1\}; \\c_3 &= \{e_1, e_5, e_{10}\} \leftrightarrow \{v_2, v_8, v_1\}; & c_4 &= \{e_1, e_7, e_{12}\} \leftrightarrow \{v_2, v_{11}, v_1\}; \\c_5 &= \{e_2, e_3, e_{13}\} \leftrightarrow \{v_3, v_5, v_1\}; & c_6 &= \{e_2, e_4, e_{14}\} \leftrightarrow \{v_3, v_7, v_1\}; \\c_7 &= \{e_2, e_5, e_{15}\} \leftrightarrow \{v_3, v_8, v_1\}; & c_8 &= \{e_2, e_7, e_{17}\} \leftrightarrow \{v_3, v_{11}, v_1\}; \\c_9 &= \{e_3, e_4, e_{24}\} \leftrightarrow \{v_5, v_7, v_1\}; & c_{10} &= \{e_3, e_6, e_{25}\} \leftrightarrow \{v_5, v_{10}, v_1\}; \\c_{11} &= \{e_4, e_5, e_{31}\} \leftrightarrow \{v_7, v_8, v_1\}; & c_{12} &= \{e_4, e_6, e_{33}\} \leftrightarrow \{v_7, v_{10}, v_1\}; \\c_{13} &= \{e_5, e_6, e_{34}\} \leftrightarrow \{v_8, v_{10}, v_1\}; & c_{14} &= \{e_5, e_7, e_{35}\} \leftrightarrow \{v_8, v_{11}, v_1\}; \\c_{15} &= \{e_8, e_9, e_{13}\} \leftrightarrow \{v_3, v_5, v_2\}; & c_{16} &= \{e_8, e_{10}, e_{15}\} \leftrightarrow \{v_3, v_8, v_2\}; \\c_{18} &= \{e_8, e_{12}, e_{17}\} \leftrightarrow \{v_3, v_{11}, v_2\}; & c_{19} &= \{e_{10}, e_{12}, e_{35}\} \leftrightarrow \{v_8, v_{11}, v_2\}; \\c_{20} &= \{e_{13}, e_{14}, e_{24}\} \leftrightarrow \{v_5, v_7, v_3\}; & c_{21} &= \{e_{14}, e_{15}, e_{31}\} \leftrightarrow \{v_7, v_8, v_3\}; \\c_{23} &= \{e_{15}, e_{17}, e_{35}\} \leftrightarrow \{v_8, v_{11}, v_3\}; & c_{25} &= \{e_{19}, e_{20}, e_{31}\} \leftrightarrow \{v_7, v_8, v_4\}; \\c_{26} &= \{e_{19}, e_{21}, e_{33}\} \leftrightarrow \{v_7, v_{10}, v_4\}; & c_{27} &= \{e_{20}, e_{21}, e_{34}\} \leftrightarrow \{v_8, v_{10}, v_4\};\end{aligned}$$

$$\begin{aligned}c_{29} &= \{e_{23}, e_{24}, e_{26}\} \leftrightarrow \{V_6, V_7, V_5\}; \\c_{31} &= \{e_{24}, e_{25}, e_{33}\} \leftrightarrow \{V_7, V_{10}, V_5\}; \\c_{33} &= \{e_{26}, e_{28}, e_{32}\} \leftrightarrow \{V_7, V_9, V_6\}; \\c_{35} &= \{e_{27}, e_{29}, e_{34}\} \leftrightarrow \{V_8, V_{10}, V_6\}; \\c_{38} &= \{e_{31}, e_{33}, e_{34}\} \leftrightarrow \{V_8, V_{10}, V_7\};\end{aligned}$$

$$\begin{aligned}c_{30} &= \{e_{23}, e_{25}, e_{29}\} \leftrightarrow \{V_6, V_{10}, V_5\}; \\c_{32} &= \{e_{26}, e_{27}, e_{31}\} \leftrightarrow \{V_7, V_8, V_6\}; \\c_{34} &= \{e_{26}, e_{29}, e_{33}\} \leftrightarrow \{V_7, V_{10}, V_6\}; \\c_{37} &= \{e_{28}, e_{29}, e_{36}\} \leftrightarrow \{V_9, V_{10}, V_6\}; \\c_{39} &= \{e_{32}, e_{33}, e_{36}\} \leftrightarrow \{V_9, V_{10}, V_7\}.\end{aligned}$$

Итерация 3

$$P_e = \langle 4, 5, 4, 4, 5, 3, 3, 4, 2, 3, 0, 3, 3, 3, 4, 0, 3, 0, 2, 2, 2, 0, 2, 4, 3, 4, 2, 2, 4, 0, 5, 2, 6, 4, 3, 2, 0, 0 \rangle;$$

$$\text{MAX} = 6; \text{MIN} = 2.$$

Определяем ребра, по которым проходит минимальное количество треугольных циклов равное MIN. Это ребра $e_9, e_{19}, e_{20}, e_{21}, e_{23}, e_{27}, e_{28}, e_{32}, e_{36}$. Удаляем из множества циклов те, которые имеют в своем составе выбранные ребра:

$$\begin{aligned}c_2 &= \{e_1, e_3, e_9\} \leftrightarrow \{V_2, V_5, V_1\}; \\c_{15} &= \{e_8, e_9, e_{13}\} \leftrightarrow \{V_3, V_5, V_2\}; \\c_{25} &= \{e_{19}, e_{20}, e_{31}\} \leftrightarrow \{V_7, V_8, V_4\}; \\c_{26} &= \{e_{19}, e_{21}, e_{33}\} \leftrightarrow \{V_7, V_{10}, V_4\}; \\c_{27} &= \{e_{20}, e_{21}, e_{34}\} \leftrightarrow \{V_8, V_{10}, V_4\}; \\c_{29} &= \{e_{23}, e_{24}, e_{26}\} \leftrightarrow \{V_6, V_7, V_5\}; \\c_{30} &= \{e_{23}, e_{25}, e_{29}\} \leftrightarrow \{V_6, V_{10}, V_5\}; \\c_{32} &= \{e_{26}, e_{27}, e_{31}\} \leftrightarrow \{V_7, V_8, V_6\}; \\c_{33} &= \{e_{26}, e_{28}, e_{32}\} \leftrightarrow \{V_7, V_9, V_6\}; \\c_{35} &= \{e_{27}, e_{29}, e_{34}\} \leftrightarrow \{V_8, V_{10}, V_6\}; \\c_{37} &= \{e_{28}, e_{29}, e_{36}\} \leftrightarrow \{V_9, V_{10}, V_6\}; \\c_{39} &= \{e_{32}, e_{33}, e_{36}\} \leftrightarrow \{V_9, V_{10}, V_7\}.\end{aligned}$$

После удаления множество треугольных циклов имеет вид:

$$\begin{aligned}c_1 &= \{e_1, e_2, e_8\} \leftrightarrow \{V_2, V_3, V_1\}; & c_3 &= \{e_1, e_5, e_{10}\} \leftrightarrow \{V_2, V_8, V_1\}; \\c_4 &= \{e_1, e_7, e_{12}\} \leftrightarrow \{V_2, V_{11}, V_1\}; & c_5 &= \{e_2, e_3, e_{13}\} \leftrightarrow \{V_3, V_5, V_1\}; \\c_6 &= \{e_2, e_4, e_{14}\} \leftrightarrow \{V_3, V_7, V_1\}; & c_7 &= \{e_2, e_5, e_{15}\} \leftrightarrow \{V_3, V_8, V_1\}; \\c_8 &= \{e_2, e_7, e_{17}\} \leftrightarrow \{V_3, V_{11}, V_1\}; & c_9 &= \{e_3, e_4, e_{24}\} \leftrightarrow \{V_5, V_7, V_1\}; \\c_{10} &= \{e_3, e_6, e_{25}\} \leftrightarrow \{V_5, V_{10}, V_1\}; & c_{11} &= \{e_4, e_5, e_{31}\} \leftrightarrow \{V_7, V_8, V_1\}; \\c_{12} &= \{e_4, e_6, e_{33}\} \leftrightarrow \{V_7, V_{10}, V_1\}; & c_{13} &= \{e_5, e_6, e_{34}\} \leftrightarrow \{V_8, V_{10}, V_1\}; \\c_{14} &= \{e_5, e_7, e_{35}\} \leftrightarrow \{V_8, V_{11}, V_1\}; & c_{16} &= \{e_8, e_{10}, e_{15}\} \leftrightarrow \{V_3, V_8, V_2\}; \\c_{18} &= \{e_8, e_{12}, e_{17}\} \leftrightarrow \{V_3, V_{11}, V_2\}; & c_{19} &= \{e_{10}, e_{12}, e_{35}\} \leftrightarrow \{V_8, V_{11}, V_2\}; \\c_{20} &= \{e_{13}, e_{14}, e_{24}\} \leftrightarrow \{V_5, V_7, V_3\}; & c_{21} &= \{e_{14}, e_{15}, e_{31}\} \leftrightarrow \{V_7, V_8, V_3\}; \\c_{23} &= \{e_{15}, e_{17}, e_{35}\} \leftrightarrow \{V_8, V_{11}, V_3\}; & c_{31} &= \{e_{24}, e_{25}, e_{33}\} \leftrightarrow \{V_7, V_{10}, V_5\}; \\c_{34} &= \{e_{26}, e_{29}, e_{33}\} \leftrightarrow \{V_7, V_{10}, V_6\}; & c_{38} &= \{e_{31}, e_{33}, e_{34}\} \leftrightarrow \{V_8, V_{10}, V_7\}.\end{aligned}$$

Итерация 4

$$P_e = \langle 3, 5, 3, 4, 5, 3, 3, 3, 0, 3, 0, 3, 2, 3, 4, 0, 3, 0, 0, 0, 0, 0, 3, 2, 1, 0, 0, 1, 0, 3, 0, 4, 2, 3, 0, 0, 0 \rangle;$$

$$\text{MAX} = 5; \text{MIN} = 1.$$

Определяем ребра, по которым проходит минимальное количество треугольных циклов равное MIN. Это ребра e_{26}, c_{29} . Удаляем из множества цикл c_{34} имеющий в своем составе ребра e_{26}, c_{29} :

$$c_{34} = \{e_{26}, e_{29}, e_{33}\} \rightarrow \{V_7, V_{10}, V_6\}.$$

После удаления множество треугольных циклов имеет вид:

$$\begin{aligned}
 c_1 &= \{e_1, e_2, e_8\} \leftrightarrow \{v_2, v_3, v_1\}; & c_3 &= \{e_1, e_5, e_{10}\} \leftrightarrow \{v_2, v_8, v_1\}; \\
 c_4 &= \{e_1, e_7, e_{12}\} \leftrightarrow \{v_2, v_{11}, v_1\}; & c_5 &= \{e_2, e_3, e_{13}\} \leftrightarrow \{v_3, v_5, v_1\}; \\
 c_6 &= \{e_2, e_4, e_{14}\} \leftrightarrow \{v_3, v_7, v_1\}; & c_7 &= \{e_2, e_5, e_{15}\} \leftrightarrow \{v_3, v_8, v_1\}; \\
 c_8 &= \{e_2, e_7, e_{17}\} \leftrightarrow \{v_3, v_{11}, v_1\}; & c_9 &= \{e_3, e_4, e_{24}\} \leftrightarrow \{v_5, v_7, v_1\}; \\
 c_{10} &= \{e_3, e_6, e_{25}\} \leftrightarrow \{v_5, v_{10}, v_1\}; & c_{11} &= \{e_4, e_5, e_{31}\} \leftrightarrow \{v_7, v_8, v_1\}; \\
 c_{12} &= \{e_4, e_6, e_{33}\} \leftrightarrow \{v_7, v_{10}, v_1\}; & c_{13} &= \{e_5, e_6, e_{34}\} \leftrightarrow \{v_8, v_{10}, v_1\}; \\
 c_{14} &= \{e_5, e_7, e_{35}\} \leftrightarrow \{v_8, v_{11}, v_1\}; & c_{16} &= \{e_8, e_{10}, e_{15}\} \leftrightarrow \{v_3, v_8, v_2\}; \\
 c_{18} &= \{e_8, e_{12}, e_{17}\} \leftrightarrow \{v_3, v_{11}, v_2\}; & c_{19} &= \{e_{10}, e_{12}, e_{35}\} \leftrightarrow \{v_8, v_{11}, v_2\}; \\
 c_{20} &= \{e_{13}, e_{14}, e_{24}\} \leftrightarrow \{v_5, v_7, v_3\}; & c_{21} &= \{e_{14}, e_{15}, e_{31}\} \leftrightarrow \{v_7, v_8, v_3\}; \\
 c_{23} &= \{e_{15}, e_{17}, e_{35}\} \leftrightarrow \{v_8, v_{11}, v_3\}; & c_{31} &= \{e_{24}, e_{25}, e_{33}\} \leftrightarrow \{v_7, v_{10}, v_5\}; \\
 c_{38} &= \{e_{31}, e_{33}, e_{34}\} \leftrightarrow \{v_8, v_{10}, v_7\}.
 \end{aligned}$$

Итерация 5

$$P_e = \langle 3, 5, 3, 4, 5, 3, 3, 3, 0, 3, 0, 3, 2, 3, 4, 0, 3, 0, 0, 0, 0, 0, 3, 2, 0, 0, 0, 0, 0, 3, 0, 3, 2, 3, 0, 0, 0 \rangle;$$

$$\text{MAX} = 5; \text{MIN} = 2.$$

Определяем ребра, по которым проходит минимальное количество треугольных циклов равное MIN. Это ребра e_{13}, e_{25}, e_{34} . Удаляем из множества циклов те, которые имеют в своем составе выбранные ребра:

$$\begin{aligned}
 c_5 &= \{e_2, e_3, e_{13}\} \leftrightarrow \{v_3, v_5, v_1\}; \\
 c_{10} &= \{e_3, e_6, e_{25}\} \leftrightarrow \{v_5, v_{10}, v_1\}; \\
 c_{13} &= \{e_5, e_6, e_{34}\} \leftrightarrow \{v_8, v_{10}, v_1\}; \\
 c_{20} &= \{e_{13}, e_{14}, e_{24}\} \leftrightarrow \{v_5, v_7, v_3\}; \\
 c_{31} &= \{e_{24}, e_{25}, e_{33}\} \leftrightarrow \{v_7, v_{10}, v_5\}; \\
 c_{38} &= \{e_{31}, e_{33}, e_{34}\} \leftrightarrow \{v_8, v_{10}, v_7\}.
 \end{aligned}$$

После удаления множество треугольных циклов имеет вид:

$$\begin{aligned}
 c_1 &= \{e_1, e_2, e_8\} \leftrightarrow \{v_2, v_3, v_1\}; & c_3 &= \{e_1, e_5, e_{10}\} \leftrightarrow \{v_2, v_8, v_1\}; \\
 c_4 &= \{e_1, e_7, e_{12}\} \leftrightarrow \{v_2, v_{11}, v_1\}; & c_6 &= \{e_2, e_4, e_{14}\} \leftrightarrow \{v_3, v_7, v_1\}; \\
 c_7 &= \{e_2, e_5, e_{15}\} \leftrightarrow \{v_3, v_8, v_1\}; & c_8 &= \{e_2, e_7, e_{17}\} \leftrightarrow \{v_3, v_{11}, v_1\}; \\
 c_9 &= \{e_3, e_4, e_{24}\} \leftrightarrow \{v_5, v_7, v_1\}; & c_{11} &= \{e_4, e_5, e_{31}\} \leftrightarrow \{v_7, v_8, v_1\}; \\
 c_{12} &= \{e_4, e_6, e_{33}\} \leftrightarrow \{v_7, v_{10}, v_1\}; & c_{14} &= \{e_5, e_7, e_{35}\} \leftrightarrow \{v_8, v_{11}, v_1\}; \\
 c_{16} &= \{e_8, e_{10}, e_{15}\} \leftrightarrow \{v_3, v_8, v_2\}; & c_{18} &= \{e_8, e_{12}, e_{17}\} \leftrightarrow \{v_3, v_{11}, v_2\}; \\
 c_{19} &= \{e_{10}, e_{12}, e_{35}\} \leftrightarrow \{v_8, v_{11}, v_2\}; & c_{21} &= \{e_{14}, e_{15}, e_{31}\} \leftrightarrow \{v_7, v_8, v_3\}; \\
 c_{23} &= \{e_{15}, e_{17}, e_{35}\} \leftrightarrow \{v_8, v_{11}, v_3\}.
 \end{aligned}$$

Итерация 6

$$P_e = \langle 3, 4, 1, 4, 4, 1, 3, 3, 0, 3, 0, 3, 0, 2, 4, 0, 3, 0, 0, 0, 0, 0, 1, 0, 0, 0, 0, 0, 2, 0, 1, 0, 3, 0, 0, 0 \rangle;$$

$$\text{MAX} = 4; \text{MIN} = 1.$$

Определяем ребра, по которым проходит минимальное количество треугольных циклов равное MIN. Это ребра e_3, e_6, e_{24}, e_{33} . Удаляем из множества циклов те, которые имеют в своем составе выбранные ребра:

$$c_9 = \{e_3, e_4, e_{24}\} \leftrightarrow \{v_5, v_7, v_1\};$$

$$c_{12} = \{e_4, e_6, e_{33}\} \leftrightarrow \{v_7, v_{10}, v_1\}.$$

После удаления множество треугольных циклов имеет вид:

$$\begin{aligned} c_1 &= \{e_1, e_2, e_8\} \leftrightarrow \{v_2, v_3, v_1\}; & c_3 &= \{e_1, e_5, e_{10}\} \leftrightarrow \{v_2, v_8, v_1\}; \\ c_4 &= \{e_1, e_7, e_{12}\} \leftrightarrow \{v_2, v_{11}, v_1\}; & c_6 &= \{e_2, e_4, e_{14}\} \leftrightarrow \{v_3, v_7, v_1\}; \\ c_7 &= \{e_2, e_5, e_{15}\} \leftrightarrow \{v_3, v_8, v_1\}; & c_8 &= \{e_2, e_7, e_{17}\} \leftrightarrow \{v_3, v_{11}, v_1\}; \\ c_{11} &= \{e_4, e_5, e_{31}\} \leftrightarrow \{v_7, v_8, v_1\}; & c_{14} &= \{e_5, e_7, e_{35}\} \leftrightarrow \{v_8, v_{11}, v_1\}; \\ c_{16} &= \{e_8, e_{10}, e_{15}\} \leftrightarrow \{v_3, v_8, v_2\}; & c_{18} &= \{e_8, e_{12}, e_{17}\} \leftrightarrow \{v_3, v_{11}, v_2\}; \\ c_{19} &= \{e_{10}, e_{12}, e_{35}\} \leftrightarrow \{v_8, v_{11}, v_2\}; & c_{21} &= \{e_{14}, e_{15}, e_{31}\} \leftrightarrow \{v_7, v_8, v_3\}; \\ c_{23} &= \{e_{15}, e_{17}, e_{35}\} \leftrightarrow \{v_8, v_{11}, v_3\}. \end{aligned}$$

Итерация 7

$$P_e = \langle 3, 4, 0, 2, 4, 0, 3, 3, 0, 3, 0, 3, 0, 2, 4, 0, 3, 0, 0, 0, 0, 0, 0, 0, 0, 0, 2, 0, 0, 0, 3, 0, 0, 0 \rangle;$$

$$\text{MAX} = 4; \text{MIN} = 2.$$

Определяем ребра, по которым проходит минимальное количество треугольных циклов равное MIN. Это ребра e_4, e_{14}, e_{31} . Удаляем из множества циклов те, которые имеют в своем составе выбранные ребра:

$$\begin{aligned} c_6 &= \{e_2, e_4, e_{14}\} \leftrightarrow \{v_3, v_7, v_1\}; \\ c_{11} &= \{e_4, e_5, e_{31}\} \leftrightarrow \{v_7, v_8, v_1\}; \\ c_{21} &= \{e_{14}, e_{15}, e_{31}\} \leftrightarrow \{v_7, v_8, v_3\}. \end{aligned}$$

После удаления множество треугольных циклов имеет вид:

$$\begin{aligned} c_1 &= \{e_1, e_2, e_8\} \leftrightarrow \{v_2, v_3, v_1\}; & c_3 &= \{e_1, e_5, e_{10}\} \leftrightarrow \{v_2, v_8, v_1\}; \\ c_4 &= \{e_1, e_7, e_{12}\} \leftrightarrow \{v_2, v_{11}, v_1\}; & c_7 &= \{e_2, e_5, e_{15}\} \leftrightarrow \{v_3, v_8, v_1\}; \\ c_8 &= \{e_2, e_7, e_{17}\} \leftrightarrow \{v_3, v_{11}, v_1\}; & c_{14} &= \{e_5, e_7, e_{35}\} \leftrightarrow \{v_8, v_{11}, v_1\}; \\ c_{16} &= \{e_8, e_{10}, e_{15}\} \leftrightarrow \{v_3, v_8, v_2\}; & c_{18} &= \{e_8, e_{12}, e_{17}\} \leftrightarrow \{v_3, v_{11}, v_2\}; \\ c_{19} &= \{e_{10}, e_{12}, e_{35}\} \leftrightarrow \{v_8, v_{11}, v_2\}; & c_{23} &= \{e_{15}, e_{17}, e_{35}\} \leftrightarrow \{v_8, v_{11}, v_3\}. \end{aligned}$$

Итерация 8

$$P_e = \langle 3, 3, 0, 0, 3, 0, 3, 0, 3, 0, 3, 0, 0, 3, 0, 3, 0, 0, 0, 0, 0, 0, 0, 0, 0, 0, 0, 0, 0, 0, 3, 0, 0, 0 \rangle;$$

$$\text{Max} = 3; \text{Min} = 3;$$

Max = Min (условие окончания работы алгоритма).

Объединив все вершины, входящие в выделенные циклы, получим множество вершин клики

$$K_5 = \{v_1, v_2, v_3, v_8, v_{11}\}.$$

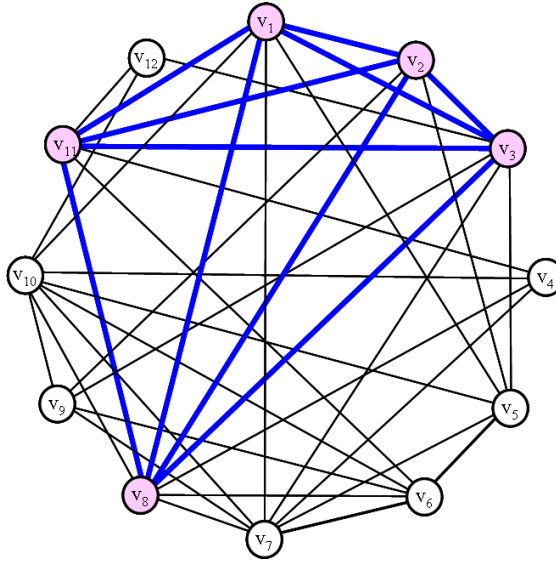


Рис. 3.2. Клика K_5 графа G_3 .

3.2. Выделение максимальной клики в графе G_4

Рассмотрим случай наличия нескольких максимальных клик в графе G_3 . Предполагается, что все клики одинаковой длины и эта длина максимальна.

Количество вершин графа = 27, количество ребер графа = 138, количество треугольных циклов графа = 173.

Смежность графа:

- вершина v_1 : $\{v_2, v_4, v_5, v_9, v_{14}, v_{16}, v_{17}, v_{20}, v_{21}, v_{23}, v_{24}, v_{25}, v_{27}\}$;
- вершина v_2 : $\{v_1, v_8, v_9, v_{13}, v_{18}, v_{19}, v_{20}, v_{22}, v_{24}\}$;
- вершина v_3 : $\{v_6, v_{15}, v_{19}, v_{21}, v_{23}, v_{26}\}$;
- вершина v_4 : $\{v_1, v_7, v_8, v_9, v_{12}, v_{14}, v_{15}, v_{18}, v_{21}\}$;
- вершина v_5 : $\{v_1, v_6, v_8, v_{10}, v_{13}, v_{14}, v_{16}, v_{19}, v_{20}, v_{22}, v_{25}, v_{27}\}$;
- вершина v_6 : $\{v_3, v_5, v_9, v_{11}, v_{13}, v_{21}, v_{27}\}$;
- вершина v_7 : $\{v_4, v_8, v_{11}, v_{13}, v_{16}, v_{17}, v_{18}, v_{19}, v_{20}, v_{22}, v_{23}\}$;
- вершина v_8 : $\{v_2, v_4, v_5, v_7, v_{10}, v_{17}, v_{19}, v_{20}, v_{21}, v_{22}, v_{23}, v_{24}, v_{27}\}$;
- вершина v_9 : $\{v_1, v_2, v_4, v_6, v_{13}, v_{16}, v_{18}, v_{20}, v_{23}, v_{24}, v_{25}, v_{26}\}$;
- вершина v_{10} : $\{v_5, v_8, v_{13}, v_{20}\}$;
- вершина v_{11} : $\{v_6, v_7, v_{14}, v_{15}, v_{16}, v_{17}, v_{19}, v_{22}, v_{24}, v_{27}\}$;
- вершина v_{12} : $\{v_4, v_{17}, v_{20}, v_{21}, v_{23}, v_{27}\}$;
- вершина v_{13} : $\{v_2, v_5, v_6, v_7, v_9, v_{10}, v_{15}, v_{16}, v_{20}, v_{21}, v_{22}, v_{26}, v_{27}\}$;
- вершина v_{14} : $\{v_1, v_4, v_5, v_{11}, v_{15}, v_{17}, v_{18}, v_{19}, v_{22}, v_{27}\}$;
- вершина v_{15} : $\{v_3, v_4, v_{11}, v_{13}, v_{14}, v_{16}, v_{17}, v_{18}, v_{20}, v_{22}, v_{23}, v_{25}, v_{26}, v_{27}\}$;
- вершина v_{16} : $\{v_1, v_5, v_7, v_9, v_{11}, v_{13}, v_{15}, v_{17}, v_{21}, v_{22}, v_{25}\}$;
- вершина v_{17} : $\{v_1, v_7, v_8, v_{11}, v_{12}, v_{14}, v_{15}, v_{16}, v_{19}, v_{22}\}$;
- вершина v_{18} : $\{v_2, v_4, v_7, v_9, v_{14}, v_{15}, v_{20}, v_{22}, v_{23}, v_{26}\}$;
- вершина v_{19} : $\{v_2, v_3, v_5, v_7, v_8, v_{11}, v_{14}, v_{17}, v_{20}, v_{21}, v_{25}\}$;
- вершина v_{20} : $\{v_1, v_2, v_5, v_7, v_8, v_9, v_{10}, v_{12}, v_{13}, v_{15}, v_{18}, v_{19}, v_{22}, v_{24}\}$;

- вершина v_{21} : $\{v_1, v_3, v_4, v_6, v_8, v_{12}, v_{13}, v_{16}, v_{19}, v_{22}, v_{25}, v_{26}\}$;
 вершина v_{22} : $\{v_2, v_5, v_7, v_8, v_{11}, v_{13}, v_{14}, v_{15}, v_{16}, v_{17}, v_{18}, v_{20}, v_{21}, v_{25}\}$;
 вершина v_{23} : $\{v_1, v_3, v_7, v_8, v_9, v_{12}, v_{15}, v_{18}, v_{24}, v_{25}\}$;
 вершина v_{24} : $\{v_1, v_2, v_8, v_9, v_{11}, v_{20}, v_{23}\}$;
 вершина v_{25} : $\{v_1, v_5, v_9, v_{15}, v_{16}, v_{19}, v_{21}, v_{22}, v_{23}, v_{27}\}$;
 вершина v_{26} : $\{v_3, v_9, v_{13}, v_{15}, v_{18}, v_{21}, v_{27}\}$;
 вершина v_{27} : $\{v_1, v_5, v_6, v_8, v_{11}, v_{12}, v_{13}, v_{14}, v_{15}, v_{25}, v_{26}\}$.

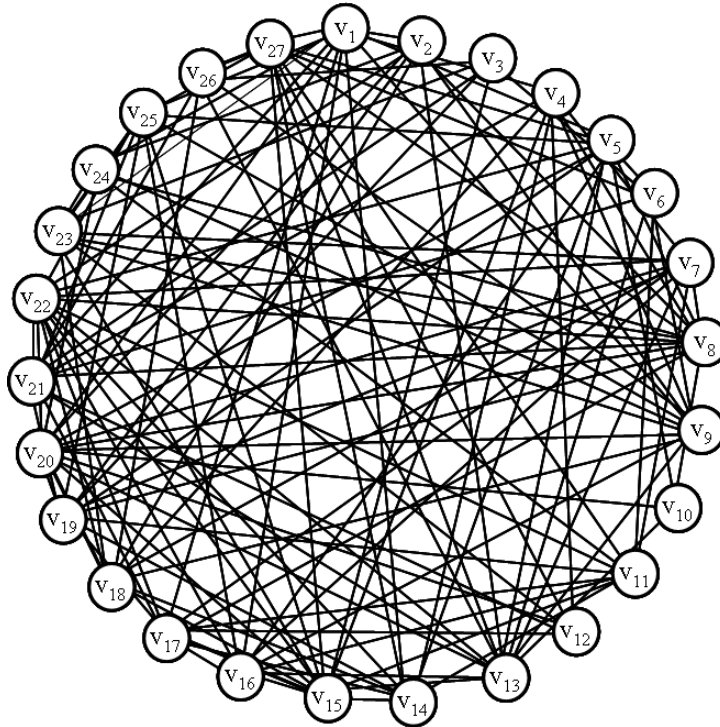


Рис. 3.3. Граф G_4 .

Инцидентность графа:

- вершина v_1 : $\{e_1, e_2, e_3, e_4, e_5, e_6, e_7, e_8, e_9, e_{10}, e_{11}, e_{12}, e_{13}\}$;
 вершина v_2 : $\{e_1, e_{14}, e_{15}, e_{16}, e_{17}, e_{18}, e_{19}, e_{20}, e_{21}\}$;
 вершина v_3 : $\{e_{22}, e_{23}, e_{24}, e_{25}, e_{26}, e_{27}\}$;
 вершина v_4 : $\{e_2, e_{28}, e_{29}, e_{30}, e_{31}, e_{32}, e_{33}, e_{34}, e_{35}\}$;
 вершина v_5 : $\{e_3, e_{36}, e_{37}, e_{38}, e_{39}, e_{40}, e_{41}, e_{42}, e_{43}, e_{44}, e_{45}, e_{46}\}$;
 вершина v_6 : $\{e_{22}, e_{36}, e_{47}, e_{48}, e_{49}, e_{50}, e_{51}\}$;
 вершина v_7 : $\{e_{28}, e_{52}, e_{53}, e_{54}, e_{55}, e_{56}, e_{57}, e_{58}, e_{59}, e_{60}, e_{61}\}$;
 вершина v_8 : $\{e_{14}, e_{29}, e_{37}, e_{52}, e_{62}, e_{63}, e_{64}, e_{65}, e_{66}, e_{67}, e_{68}, e_{69}, e_{70}\}$;
 вершина v_9 : $\{e_4, e_{15}, e_{30}, e_{47}, e_{71}, e_{72}, e_{73}, e_{74}, e_{75}, e_{76}, e_{77}, e_{78}\}$;
 вершина v_{10} : $\{e_{38}, e_{62}, e_{79}, e_{80}\}$;
 вершина v_{11} : $\{e_{48}, e_{53}, e_{81}, e_{82}, e_{83}, e_{84}, e_{85}, e_{86}, e_{87}, e_{88}\}$;
 вершина v_{12} : $\{e_{31}, e_{89}, e_{90}, e_{91}, e_{92}, e_{93}\}$;
 вершина v_{13} : $\{e_{16}, e_{39}, e_{49}, e_{54}, e_{71}, e_{79}, e_{94}, e_{95}, e_{96}, e_{97}, e_{98}, e_{99}, e_{100}\}$;
 вершина v_{14} : $\{e_5, e_{32}, e_{40}, e_{81}, e_{101}, e_{102}, e_{103}, e_{104}, e_{105}, e_{106}\}$;
 вершина v_{15} : $\{e_{23}, e_{33}, e_{82}, e_{94}, e_{101}, e_{107}, e_{108}, e_{109}, e_{110}, e_{111}, e_{112}, e_{113}, e_{114}, e_{115}\}$;
 вершина v_{16} : $\{e_6, e_{41}, e_{55}, e_{72}, e_{83}, e_{95}, e_{107}, e_{116}, e_{117}, e_{118}, e_{119}\}$;
 вершина v_{17} : $\{e_7, e_{56}, e_{63}, e_{84}, e_{89}, e_{102}, e_{108}, e_{116}, e_{120}, e_{121}\}$;
 вершина v_{18} : $\{e_{17}, e_{34}, e_{57}, e_{73}, e_{103}, e_{109}, e_{122}, e_{123}, e_{124}, e_{125}\}$;

для $MAX = 5, MIN = 3$.

Далее будем искать максимальные клики. Множество циклов, принадлежащих первой клике:

$$\begin{aligned}
 c_1 &= \{e_1, e_4, e_{15}\} \leftrightarrow \{v_2, v_9, v_1\}; & c_2 &= \{e_1, e_8, e_{19}\} \leftrightarrow \{v_2, v_{20}, v_1\}; \\
 c_3 &= \{e_1, e_{11}, e_{21}\} \leftrightarrow \{v_2, v_{24}, v_1\}; & c_{13} &= \{e_4, e_8, e_{74}\} \leftrightarrow \{v_9, v_{20}, v_1\}; \\
 c_{15} &= \{e_4, e_{11}, e_{76}\} \leftrightarrow \{v_9, v_{24}, v_1\}; & c_{22} &= \{e_8, e_{11}, e_{130}\} \leftrightarrow \{v_{20}, v_{24}, v_1\}; \\
 c_{33} &= \{e_{15}, e_{19}, e_{74}\} \leftrightarrow \{v_9, v_{20}, v_2\}; & c_{34} &= \{e_{15}, e_{21}, e_{76}\} \leftrightarrow \{v_9, v_{24}, v_2\}; \\
 c_{41} &= \{e_{19}, e_{21}, e_{130}\} \leftrightarrow \{v_{20}, v_{24}, v_2\}; & c_{119} &= \{e_{74}, e_{76}, e_{130}\} \leftrightarrow \{v_{20}, v_{24}, v_9\}.
 \end{aligned}$$

Множество вершин первой клики: $K_1 = \{v_1, v_2, v_9, v_{20}, v_{24}\}$.

Множество циклов, принадлежащих второй клике:

$$\begin{aligned}
 c_{87} &= \{e_{53}, e_{55}, e_{83}\} \leftrightarrow \{v_{11}, v_{16}, v_7\}; & c_{88} &= \{e_{53}, e_{56}, e_{84}\} \leftrightarrow \{v_{11}, v_{17}, v_7\}; \\
 c_{90} &= \{e_{53}, e_{60}, e_{86}\} \leftrightarrow \{v_{11}, v_{22}, v_7\}; & c_{94} &= \{e_{55}, e_{56}, e_{116}\} \leftrightarrow \{v_{16}, v_{17}, v_7\}; \\
 c_{95} &= \{e_{55}, e_{60}, e_{118}\} \leftrightarrow \{v_{16}, v_{22}, v_7\}; & c_{97} &= \{e_{56}, e_{60}, e_{121}\} \leftrightarrow \{v_{17}, v_{22}, v_7\}; \\
 c_{132} &= \{e_{83}, e_{84}, e_{116}\} \leftrightarrow \{v_{16}, v_{17}, v_{11}\}; & c_{133} &= \{e_{83}, e_{86}, e_{118}\} \leftrightarrow \{v_{16}, v_{22}, v_{11}\}; \\
 c_{135} &= \{e_{84}, e_{86}, e_{121}\} \leftrightarrow \{v_{17}, v_{22}, v_{11}\}; & c_{167} &= \{e_{116}, e_{118}, e_{121}\} \leftrightarrow \{v_{17}, v_{22}, v_{16}\}.
 \end{aligned}$$

Множество вершин второй клики: $K_2 = \{v_7, v_{11}, v_{16}, v_{17}, v_{22}\}$.

Множество циклов, принадлежащих третьей клике:

$$\begin{aligned}
 c_{123} &= \{e_{81}, e_{82}, e_{101}\} \leftrightarrow \{v_{14}, v_{15}, v_{11}\}; & c_{124} &= \{e_{81}, e_{84}, e_{102}\} \leftrightarrow \{v_{14}, v_{17}, v_{11}\}; \\
 c_{126} &= \{e_{81}, e_{86}, e_{105}\} \leftrightarrow \{v_{14}, v_{22}, v_{11}\}; & c_{129} &= \{e_{82}, e_{84}, e_{108}\} \leftrightarrow \{v_{15}, v_{17}, v_{11}\}; \\
 c_{130} &= \{e_{82}, e_{86}, e_{111}\} \leftrightarrow \{v_{15}, v_{22}, v_{11}\}; & c_{135} &= \{e_{84}, e_{86}, e_{121}\} \leftrightarrow \{v_{17}, v_{22}, v_{11}\}; \\
 c_{147} &= \{e_{101}, e_{102}, e_{108}\} \leftrightarrow \{v_{15}, v_{17}, v_{14}\}; & c_{149} &= \{e_{101}, e_{105}, e_{111}\} \leftrightarrow \{v_{15}, v_{22}, v_{14}\}; \\
 c_{152} &= \{e_{102}, e_{105}, e_{121}\} \leftrightarrow \{v_{17}, v_{22}, v_{14}\}; & c_{157} &= \{e_{108}, e_{111}, e_{121}\} \leftrightarrow \{v_{17}, v_{22}, v_{15}\}.
 \end{aligned}$$

Множество вершин третьей клики: $K_3 = \{v_{11}, v_{14}, v_{15}, v_{17}, v_{22}\}$.

Множество циклов, принадлежащих четвертой клике:

$$\begin{aligned}
 c_{128} &= \{e_{82}, e_{83}, e_{107}\} \leftrightarrow \{v_{15}, v_{16}, v_{11}\}; & c_{129} &= \{e_{82}, e_{84}, e_{108}\} \leftrightarrow \{v_{15}, v_{17}, v_{11}\}; \\
 c_{130} &= \{e_{82}, e_{86}, e_{111}\} \leftrightarrow \{v_{15}, v_{22}, v_{11}\}; & c_{132} &= \{e_{83}, e_{84}, e_{116}\} \leftrightarrow \{v_{16}, v_{17}, v_{11}\}; \\
 c_{133} &= \{e_{83}, e_{86}, e_{118}\} \leftrightarrow \{v_{16}, v_{22}, v_{11}\}; & c_{135} &= \{e_{84}, e_{86}, e_{121}\} \leftrightarrow \{v_{17}, v_{22}, v_{11}\}; \\
 c_{154} &= \{e_{107}, e_{108}, e_{116}\} \leftrightarrow \{v_{16}, v_{17}, v_{15}\}; & c_{155} &= \{e_{107}, e_{111}, e_{118}\} \leftrightarrow \{v_{16}, v_{22}, v_{15}\}; \\
 c_{157} &= \{e_{108}, e_{111}, e_{121}\} \leftrightarrow \{v_{17}, v_{22}, v_{15}\}; & c_{167} &= \{e_{116}, e_{118}, e_{121}\} \leftrightarrow \{v_{17}, v_{22}, v_{16}\}.
 \end{aligned}$$

Множество вершин четвертой клики: $K_4 = \{v_{11}, v_{15}, v_{16}, v_{17}, v_{22}\}$.

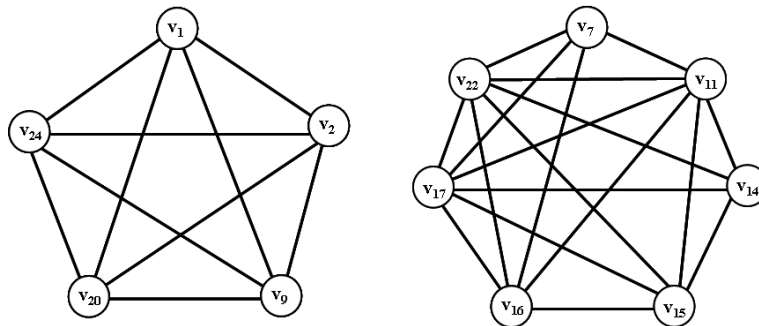


Рис. 3.4. Подграфы графа G_4 .

В этом случае возникает неоднозначность решения, требующая перебора различных вариантов, так как циклы $c_{129}, c_{130}, c_{132}, c_{133}, c_{157}, c_{167}$ участвуют в формировании двух клик, а цикл c_{135} – даже в трех.

3.3. Выделение максимальной клики в графе Турана

Если рассматривать графы Муна-Мозера, то имеется некоторая особенность в построении начального вектора циклов по ребрам. Здесь значения MAX и MIN совпадают уже на первом начальном шаге.

Начальное значение вектора по ребрам графа Муна-Мозера на 9 вершин – MAX=3, MIN=3, на 12 вершин – MAX=6, MIN=6, на 15 вершин – MAX=9, MIN=9, на 18 вершин – MAX=12, MIN=12, и так далее.

В графе Турана величины в начальном векторе циклов по ребрам P_e могут отличаться. Рассмотрим граф Турана (рис. 3.5).

Количество вершин графа = 13, количество ребер графа = 63, количество изометрических циклов графа = 216, количество циклов графа длиной три = 135.

Смежность графа:

- вершина 1: $\langle v_4, v_5, v_6, v_7, v_8, v_9, v_{10}, v_{11}, v_{12}, v_{13} \rangle$
- вершина 2: $\langle v_4, v_5, v_6, v_7, v_8, v_9, v_{10}, v_{11}, v_{12}, v_{13} \rangle$
- вершина 3: $\langle v_4, v_5, v_6, v_7, v_8, v_9, v_{10}, v_{11}, v_{12}, v_{13} \rangle$
- вершина 4: $\langle v_1, v_2, v_3, v_7, v_8, v_9, v_{10}, v_{11}, v_{12}, v_{13} \rangle$
- вершина 5: $\langle v_1, v_2, v_3, v_7, v_8, v_9, v_{10}, v_{11}, v_{12}, v_{13} \rangle$
- вершина 6: $\langle v_1, v_2, v_3, v_7, v_8, v_9, v_{10}, v_{11}, v_{12}, v_{13} \rangle$
- вершина 7: $\langle v_1, v_2, v_3, v_4, v_5, v_6, v_{10}, v_{11}, v_{12}, v_{13} \rangle$
- вершина 8: $\langle v_1, v_2, v_3, v_4, v_5, v_6, v_{10}, v_{11}, v_{12}, v_{13} \rangle$
- вершина 9: $\langle v_1, v_2, v_3, v_4, v_5, v_6, v_{10}, v_{11}, v_{12}, v_{13} \rangle$
- вершина 10: $\langle v_1, v_2, v_3, v_4, v_5, v_6, v_7, v_8, v_9 \rangle$
- вершина 11: $\langle v_1, v_2, v_3, v_4, v_5, v_6, v_7, v_8, v_9 \rangle$
- вершина 12: $\langle v_1, v_2, v_3, v_4, v_5, v_6, v_7, v_8, v_9 \rangle$
- вершина 13: $\langle v_1, v_2, v_3, v_4, v_5, v_6, v_7, v_8, v_9 \rangle$

Инцидентность графа:

- вершина 1: $\langle e_1, e_2, e_3, e_4, e_5, e_6, e_7, e_8, e_9, e_{10} \rangle$
- вершина 2: $\langle e_{11}, e_{12}, e_{13}, e_{14}, e_{15}, e_{16}, e_{17}, e_{18}, e_{19}, e_{20} \rangle$
- вершина 3: $\langle e_{21}, e_{22}, e_{23}, e_{24}, e_{25}, e_{26}, e_{27}, e_{28}, e_{29}, e_{30} \rangle$
- вершина 4: $\langle e_1, e_{11}, e_{21}, e_{31}, e_{32}, e_{33}, e_{34}, e_{35}, e_{36}, e_{37} \rangle$
- вершина 5: $\langle e_2, e_{12}, e_{22}, e_{32}, e_{39}, e_{40}, e_{41}, e_{42}, e_{43}, e_{44} \rangle$
- вершина 6: $\langle e_3, e_{13}, e_{23}, e_{45}, e_{46}, e_{47}, e_{48}, e_{49}, e_{50}, e_{51} \rangle$
- вершина 7: $\langle e_4, e_{14}, e_{24}, e_{31}, e_{38}, e_{45}, e_{52}, e_{53}, e_{54}, e_{55} \rangle$
- вершина 8: $\langle e_5, e_{15}, e_{25}, e_{32}, e_{39}, e_{46}, e_{56}, e_{57}, e_{58}, e_{59} \rangle$
- вершина 9: $\langle e_6, e_{16}, e_{26}, e_{33}, e_{40}, e_{47}, e_{60}, e_{61}, e_{62}, e_{63} \rangle$
- вершина 10: $\langle e_7, e_{17}, e_{27}, e_{34}, e_{41}, e_{48}, e_{52}, e_{56}, e_{60} \rangle$

вершина 11: $\langle e_8, e_{18}, e_{28}, e_{35}, e_{42}, e_{49}, e_{53}, e_{57}, e_{61} \rangle$
 вершина 12: $\langle e_9, e_{19}, e_{29}, e_{36}, e_{43}, e_{50}, e_{54}, e_{58}, e_{62} \rangle$
 вершина 13: $\langle e_{10}, e_{20}, e_{30}, e_{37}, e_{44}, e_{51}, e_{55}, e_{59}, e_{63} \rangle$

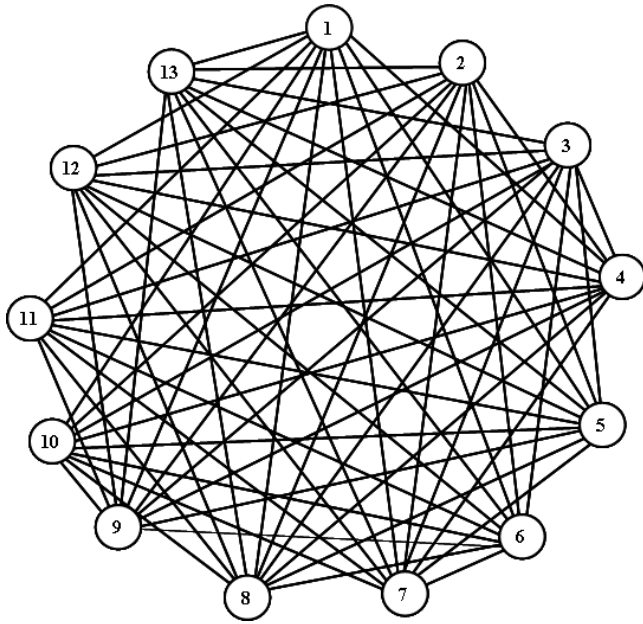


Рис. 3.5. Граф Турана.

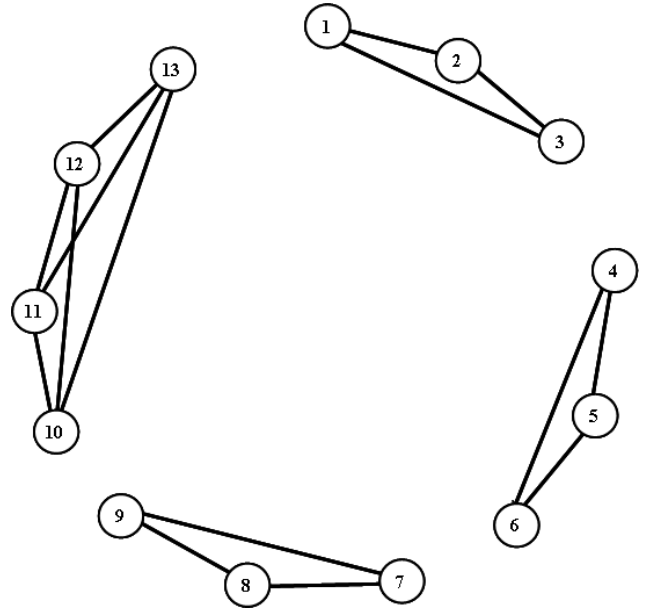


Рис. 3.6. Дополнительный граф Турана.

Множество циклов длиной три:

- $c_1 = \{e_1, e_4, e_{31}\} \leftrightarrow \{v_4, v_7, v_1\};$
- $c_3 = \{e_1, e_6, e_{33}\} \leftrightarrow \{v_4, v_9, v_1\};$
- $c_5 = \{e_1, e_8, e_{35}\} \leftrightarrow \{v_4, v_{11}, v_1\};$
- $c_7 = \{e_1, e_{10}, e_{37}\} \leftrightarrow \{v_4, v_{13}, v_1\};$
- $c_9 = \{e_2, e_5, e_{39}\} \leftrightarrow \{v_5, v_8, v_1\};$
- $c_{11} = \{e_2, e_7, e_{41}\} \leftrightarrow \{v_5, v_{10}, v_1\};$
- $c_{13} = \{e_2, e_9, e_{43}\} \leftrightarrow \{v_5, v_{12}, v_1\};$
- $c_{15} = \{e_3, e_4, e_{45}\} \leftrightarrow \{v_6, v_7, v_1\};$
- $c_{17} = \{e_3, e_6, e_{47}\} \leftrightarrow \{v_6, v_9, v_1\};$
- $c_{19} = \{e_3, e_8, e_{49}\} \leftrightarrow \{v_6, v_{11}, v_1\};$
- $c_{21} = \{e_3, e_{10}, e_{51}\} \leftrightarrow \{v_6, v_{13}, v_1\};$
- $c_{23} = \{e_4, e_8, e_{53}\} \leftrightarrow \{v_7, v_{11}, v_1\};$
- $c_{25} = \{e_4, e_{10}, e_{55}\} \leftrightarrow \{v_7, v_{13}, v_1\};$
- $c_{27} = \{e_5, e_8, e_{57}\} \leftrightarrow \{v_8, v_{11}, v_1\};$
- $c_{29} = \{e_5, e_{10}, e_{59}\} \leftrightarrow \{v_8, v_{13}, v_1\};$
- $c_{31} = \{e_6, e_8, e_{61}\} \leftrightarrow \{v_9, v_{11}, v_1\};$
- $c_{33} = \{e_6, e_{10}, e_{63}\} \leftrightarrow \{v_9, v_{13}, v_1\};$
- $c_{35} = \{e_{11}, e_{15}, e_{32}\} \leftrightarrow \{v_4, v_8, v_2\};$
- $c_{37} = \{e_{11}, e_{17}, e_{34}\} \leftrightarrow \{v_4, v_{10}, v_2\};$
- $c_{39} = \{e_{11}, e_{19}, e_{36}\} \leftrightarrow \{v_4, v_{12}, v_2\};$
- $c_{41} = \{e_{12}, e_{14}, e_{38}\} \leftrightarrow \{v_5, v_7, v_2\};$
- $c_{43} = \{e_{12}, e_{16}, e_{40}\} \leftrightarrow \{v_5, v_9, v_2\};$

- $c_2 = \{e_1, e_5, e_{32}\} \leftrightarrow \{v_4, v_8, v_1\};$
- $c_4 = \{e_1, e_7, e_{34}\} \leftrightarrow \{v_4, v_{10}, v_1\};$
- $c_6 = \{e_1, e_9, e_{36}\} \leftrightarrow \{v_4, v_{12}, v_1\};$
- $c_8 = \{e_2, e_4, e_{38}\} \leftrightarrow \{v_5, v_7, v_1\};$
- $c_{10} = \{e_2, e_6, e_{40}\} \leftrightarrow \{v_5, v_9, v_1\};$
- $c_{12} = \{e_2, e_8, e_{42}\} \leftrightarrow \{v_5, v_{11}, v_1\};$
- $c_{14} = \{e_2, e_{10}, e_{44}\} \leftrightarrow \{v_5, v_{13}, v_1\};$
- $c_{16} = \{e_3, e_5, e_{46}\} \leftrightarrow \{v_6, v_8, v_1\};$
- $c_{18} = \{e_3, e_7, e_{48}\} \leftrightarrow \{v_6, v_{10}, v_1\};$
- $c_{20} = \{e_3, e_9, e_{50}\} \leftrightarrow \{v_6, v_{12}, v_1\};$
- $c_{22} = \{e_4, e_7, e_{52}\} \leftrightarrow \{v_7, v_{10}, v_1\};$
- $c_{24} = \{e_4, e_9, e_{54}\} \leftrightarrow \{v_7, v_{12}, v_1\};$
- $c_{26} = \{e_5, e_7, e_{56}\} \leftrightarrow \{v_8, v_{10}, v_1\};$
- $c_{28} = \{e_5, e_9, e_{58}\} \leftrightarrow \{v_8, v_{12}, v_1\};$
- $c_{30} = \{e_6, e_7, e_{60}\} \leftrightarrow \{v_9, v_{10}, v_1\};$
- $c_{32} = \{e_6, e_9, e_{62}\} \leftrightarrow \{v_9, v_{12}, v_1\};$
- $c_{34} = \{e_{11}, e_{14}, e_{31}\} \leftrightarrow \{v_4, v_7, v_2\};$
- $c_{36} = \{e_{11}, e_{16}, e_{33}\} \leftrightarrow \{v_4, v_9, v_2\};$
- $c_{38} = \{e_{11}, e_{18}, e_{35}\} \leftrightarrow \{v_4, v_{11}, v_2\};$
- $c_{40} = \{e_{11}, e_{20}, e_{37}\} \leftrightarrow \{v_4, v_{13}, v_2\};$
- $c_{42} = \{e_{12}, e_{15}, e_{39}\} \leftrightarrow \{v_5, v_8, v_2\};$
- $c_{44} = \{e_{12}, e_{17}, e_{41}\} \leftrightarrow \{v_5, v_{10}, v_2\};$

Итерация 0

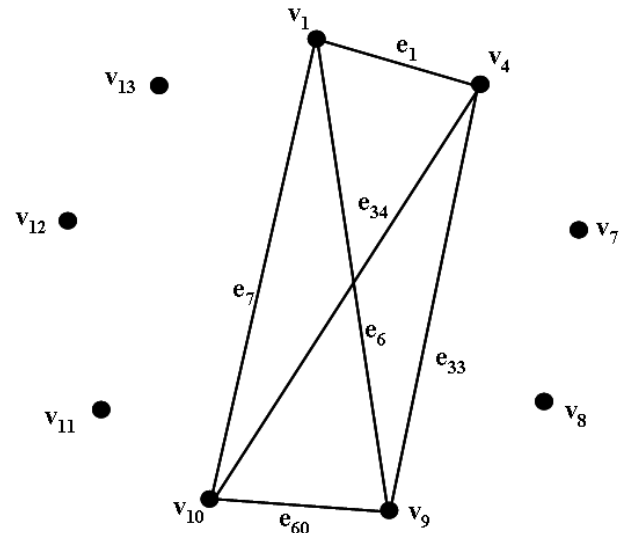
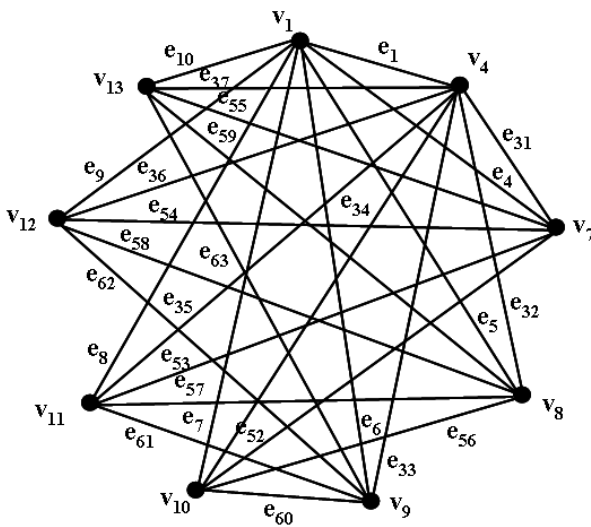
Max = 7, Min = 6

$P_e = \langle 77777766667777776666$
 77777766667776666777
 66667776666666666666
 $666 \rangle$

Выбираем ребро e_1 ; строим на базе выбранных циклов и вершин подграф (рис. 3.7).

$c_1 = \{e_1, e_4, e_{31}\} \leftrightarrow \{v_4, v_7, v_1\};$
 $c_3 = \{e_1, e_6, e_{33}\} \leftrightarrow \{v_4, v_9, v_1\};$
 $c_5 = \{e_1, e_8, e_{35}\} \leftrightarrow \{v_4, v_{11}, v_1\};$
 $c_7 = \{e_1, e_{10}, e_{37}\} \leftrightarrow \{v_4, v_{13}, v_1\}.$

$c_2 = \{e_1, e_5, e_{32}\} \leftrightarrow \{v_4, v_8, v_1\};$
 $c_4 = \{e_1, e_7, e_{34}\} \leftrightarrow \{v_4, v_{10}, v_1\};$
 $c_6 = \{e_1, e_9, e_{36}\} \leftrightarrow \{v_4, v_{12}, v_1\};$



3.7. Подграф относительно ребра e_1 .

3.8. Клика относительно ребер e_1 и e_{60} .

Множество циклов длиной три для 1-й итерации:

$c_1 = \{e_1, e_4, e_{31}\} \leftrightarrow \{v_4, v_7, v_1\};$
 $c_3 = \{e_1, e_6, e_{33}\} \leftrightarrow \{v_4, v_9, v_1\};$
 $c_5 = \{e_1, e_8, e_{35}\} \leftrightarrow \{v_4, v_{11}, v_1\};$
 $c_7 = \{e_1, e_{10}, e_{37}\} \leftrightarrow \{v_4, v_{13}, v_1\};$
 $c_{23} = \{e_4, e_8, e_{53}\} \leftrightarrow \{v_7, v_{11}, v_1\};$
 $c_{25} = \{e_4, e_{10}, e_{55}\} \leftrightarrow \{v_7, v_{13}, v_1\};$
 $c_{27} = \{e_5, e_8, e_{57}\} \leftrightarrow \{v_8, v_{11}, v_1\};$
 $c_{29} = \{e_5, e_{10}, e_{59}\} \leftrightarrow \{v_8, v_{13}, v_1\};$
 $c_{31} = \{e_6, e_8, e_{61}\} \leftrightarrow \{v_9, v_{11}, v_1\};$
 $c_{33} = \{e_6, e_{10}, e_{63}\} \leftrightarrow \{v_9, v_{13}, v_1\};$
 $c_{101} = \{e_{31}, e_{35}, e_{53}\} \leftrightarrow \{v_7, v_{11}, v_4\};$
 $c_{103} = \{e_{31}, e_{37}, e_{55}\} \leftrightarrow \{v_7, v_{13}, v_4\};$
 $c_{105} = \{e_{32}, e_{35}, e_{57}\} \leftrightarrow \{v_8, v_{11}, v_4\};$
 $c_{107} = \{e_{32}, e_{37}, e_{59}\} \leftrightarrow \{v_8, v_{13}, v_4\};$
 $c_{109} = \{e_{33}, e_{35}, e_{61}\} \leftrightarrow \{v_9, v_{11}, v_4\};$

$c_2 = \{e_1, e_5, e_{32}\} \leftrightarrow \{v_4, v_8, v_1\};$
 $c_4 = \{e_1, e_7, e_{34}\} \leftrightarrow \{v_4, v_{10}, v_1\};$
 $c_6 = \{e_1, e_9, e_{36}\} \leftrightarrow \{v_4, v_{12}, v_1\};$
 $c_{22} = \{e_4, e_7, e_{52}\} \leftrightarrow \{v_7, v_{10}, v_1\};$
 $c_{24} = \{e_4, e_9, e_{54}\} \leftrightarrow \{v_7, v_{12}, v_1\};$
 $c_{26} = \{e_5, e_7, e_{56}\} \leftrightarrow \{v_8, v_{10}, v_1\};$
 $c_{28} = \{e_5, e_9, e_{58}\} \leftrightarrow \{v_8, v_{12}, v_1\};$
 $c_{30} = \{e_6, e_7, e_{60}\} \leftrightarrow \{v_9, v_{10}, v_1\};$
 $c_{32} = \{e_6, e_9, e_{62}\} \leftrightarrow \{v_9, v_{12}, v_1\};$
 $c_{100} = \{e_{31}, e_{34}, e_{52}\} \leftrightarrow \{v_7, v_{10}, v_4\};$
 $c_{102} = \{e_{31}, e_{36}, e_{54}\} \leftrightarrow \{v_7, v_{12}, v_4\};$
 $c_{104} = \{e_{32}, e_{34}, e_{56}\} \leftrightarrow \{v_8, v_{10}, v_4\};$
 $c_{106} = \{e_{32}, e_{36}, e_{58}\} \leftrightarrow \{v_8, v_{12}, v_4\};$
 $c_{108} = \{e_{33}, e_{34}, e_{60}\} \leftrightarrow \{v_9, v_{10}, v_4\};$
 $c_{110} = \{e_{33}, e_{36}, e_{62}\} \leftrightarrow \{v_9, v_{12}, v_4\};$

Выводы

Задача выделения максимальной клики графа является задачей с полиномиальной вычислительной сложностью. В свою очередь, задача перечисления всех максимальных клик графа является задачей с экспоненциальной вычислительной сложностью.

Основная идея предложенного в данной работе метода заключается в определении вектора количества циклов, проходящих по ребрам P_e основной итерации. Построение подграфа с участием циклов, проходящих по ребру с минимальным весом, индуцирует (порождает) максимальную клику графа.

Основу представленного в работе алгоритма составляет выделение множества треугольных циклов графа. Такое выделение позволяет находить решение, используя как подпространство циклов $C(G)$, так и подпространство разрезов графа $S(G)$.

Список используемой литературы

1. Ахо Х. Построение и анализ вычислительных алгоритмов. / Х. Ахо, Дж. Хопкрофт, Дж. Ульман - М.: Мир.-1979.- 536 с.
2. Гэри М. Вычислительные машины и труднорешаемые задачи: Пер. с англ. / М. Гэри., Д. Джонсон - М.: Мир.- 1982. – 416 с.
3. Емеличев В.А. Лекции по теории графов / В.А. Емеличев, О.И. Мельников, В.И.Сарванов, Р.И. Тышкевич - М.: Наука. ГРФМЛ.-1990. - 384с.
4. Зыков А.А. Основы теории графов. / А.А. Зыков – М.: Наука, ГРФМЛ, 1987. – 384с.
5. Карп Р.М. Сводимость комбинаторных задач. – Киб. сб., нов. сер., вып. 12.-М.:Мир,1975, 16-38с.
6. Кнут Д. Искусство программирования, том 4, А. Комбинаторные алгоритмы. Пер. с англ. / Д.Кнут - М.: ООО «Вильямс» - 2013.- 960 с.
7. Кук С.А. Сложность процедур вывода теорем. – Киб. сб., нов. сер., вып. 12.-М.:Мир,1975, 5-15с.
8. Курапов С.В., Давидовский М.В. Алгоритмические методы конечных дискретных структур. Изоморфизм несепарабельных графов - Запорожье: ЗНУ. - 2021.- 214с.
9. Свами М. Графы, сети и алгоритмы: Пер. с англ. / М. Свами, К. Тхуласираман - М.: Мир.- 1984. - 455с.
10. Харари Ф. Теория графов. - пер. с англ. Козырева В.П. / под ред. Гаврилова В.Г. / Ф. Харари – М.: Мир. – 1973. – 300с.
11. Цветкович Д., Дуб М., Захс Х. Спектры графов. Теория и применение. Киев, Наук. Думка, 1984. – 384 с.
12. С. Y. Chao, G. A. Novacky. On maximally saturated graphs // Discrete Mathematics. — 1982. — Т. 41, вып. 2. — С. 139–143.
13. W. Moon, L. Moser. On cliques in graphs // Israel Journal of Mathematics. — 1965. — Т. 3. — С. 23–28.
14. P. Turán. On an extremal problem in graph theory // Matematiko Fizicki Lapok. — 1941. — Т. 48. — С. 436–452.